

Mag - és részecske- fizika

Kováth János
ludens.elte.hu / ~ akos

Témakörök:

1. Kvarkokig hogyan lehet eljutni kísérletekkel
2. Radioaktivitás (mennyiségi, minőségi)
3. Sugárzás és anyag kölcsönhatása
4. Detektorok
5. Dozimetria (mitől féljünk, reaktorok)

Örökös: 13¹⁵

13¹⁵ - 14¹⁵, 15 perc szünet, 15⁰⁰ - 15¹⁵

Vészes: 2 órás: fél órás körbe, vizsgaidőszak 1. hete

+ szóbeli: 2. órás után 1 nappal az előző napi

szóbeliből lesz kérdés (puskázás elkezdése végett)

↓
utána megajánlott jegyet el lehet fogadni,
vagy további szóbelivel javítani lehet

Könyvek:

1. Kísérleti atomfizika (pdf-ben megvan)
2. Kiss Bertó...: Nukleáris technika
3. Füzes Imre: Atommagfizika

1. óra

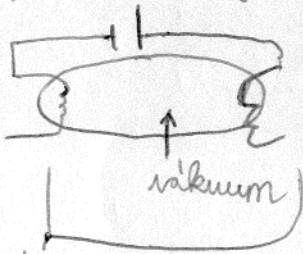
1) A fizika 4 anyaga:

1895 - 1898

1.1. 1895: RTG sugárzás felfedezése (X-ray)

(W.C. Röntgen, Németország)

1.1.1) Katód sugárzó segítségével fedezte fel



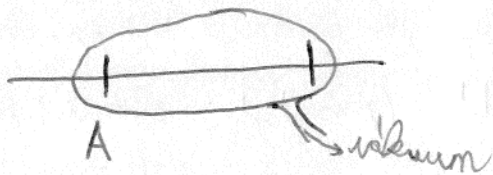
(kisülési cső)

↳ ebben nem vákuum volt, hanem
gáz → e⁻ gyorsul → világit

fémkathód

(feszültség, melegítés)

• szivattyúk járulása → e⁻ szabad állapotba a kisülési cső méretével egyezik meg



(antikatód)

↓
kénykeszerőlenes

↓
megfektetett

• kezdet is odatette → csatlak is látszóttak

Geisler - féle vákuumszivattyú

↓
VKL

1.1.2. RTG - sugárzás:

a) fékezési sugárzás: töltés gyorsul \rightarrow EM sugárzás
(lehető a terjedés)

katód sugárcsőben
nagyon gyorsan lelassul az e^-
 \downarrow
fékezési sugárzást bocsát ki

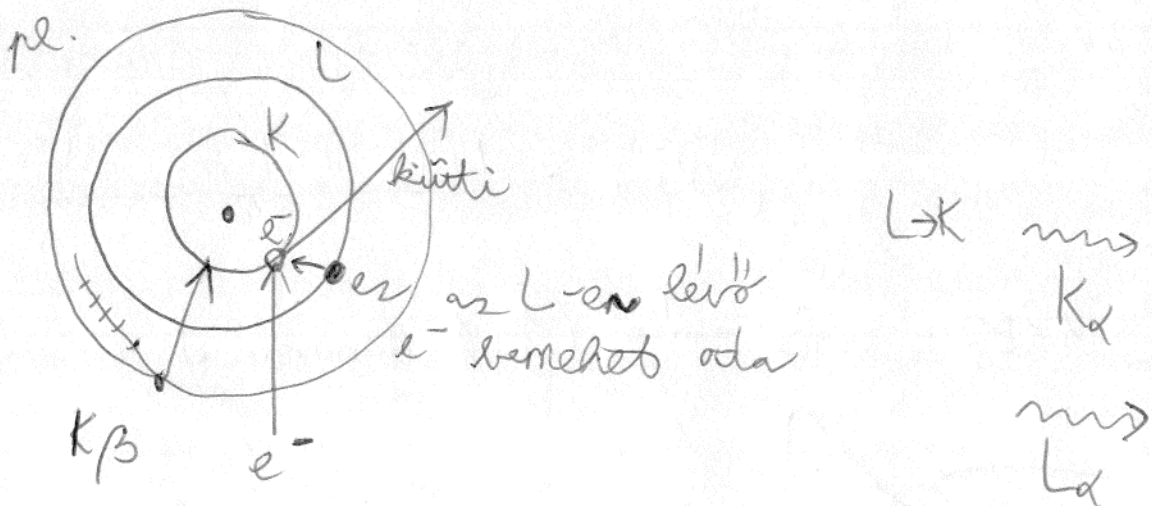
$h \cdot \nu$ energiát ad 1 fotón

$$K = q \cdot U = e \cdot U$$

\downarrow
maximális sugárzási energia: $eU = h \cdot \nu_{max}$
(ennél kisebb is keletkezik)

b) karakterisztikus RTG sugárzás:

a katódcsőben haladó e^- kiütetheti az anód
atomjaiból egy belső $e^- \rightarrow$



K..., L... \rightarrow melyik héjról ugrik ki

α, \dots, β \rightarrow honnan ugrik be a helyére

- 1.4: 1898: a radioaktívitas felfedezése
(Curie-házaspár)

• már munkájukból Ra -t elkristályosították

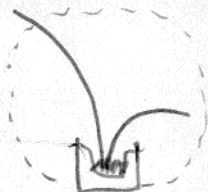
↓
α sugárforrásokat állítottak elő, ezeket vizsgálatták

Pierre Curie - Marie Curie

Henri Curie - felfedező (Curie)

1.5. Radioaktivitás osztályozása:

1.5.1: α és β sugárzás Ernest Rutherford (Új-Zéland)
különítette el



Wilson-féle ködkamra

↓
az ionizáló sug. útját
láthatóvá lehet tenni vele

1. levegő

2. gőz tesztünk bele (-24°C)

(pl. alkohollal)

$a_0 = 52 \mu\text{m}$

H atom sugara

↓
forrásokat alá kell,
DE nem csapódik ki,
mert egymástól távol vannak

$1\text{Å} = 100 \mu\text{m}$

3. DE ha ionizáló részecské
van benne

~~amely~~



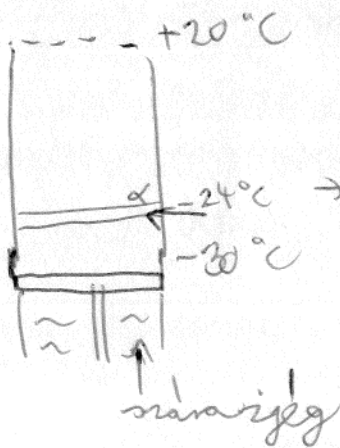
e^- -t le tudja ionizálni \rightarrow ionizáció

↙
nagyobb ionizálás az elektronok k.h. miatt
⇓

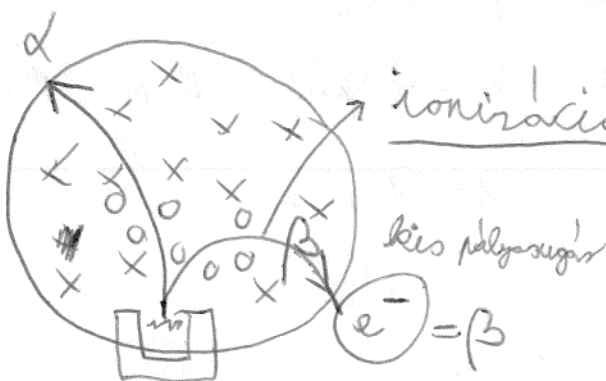
alól az ionizáló sug. elmegy, ott találkoznak az
alkoholmolekulák

⇓
kondenzáció alakul ki (ilyen hőm.-en folyadék
az alk. \rightarrow összeragad) \sim kondenzáció

diffúziós ködkamra



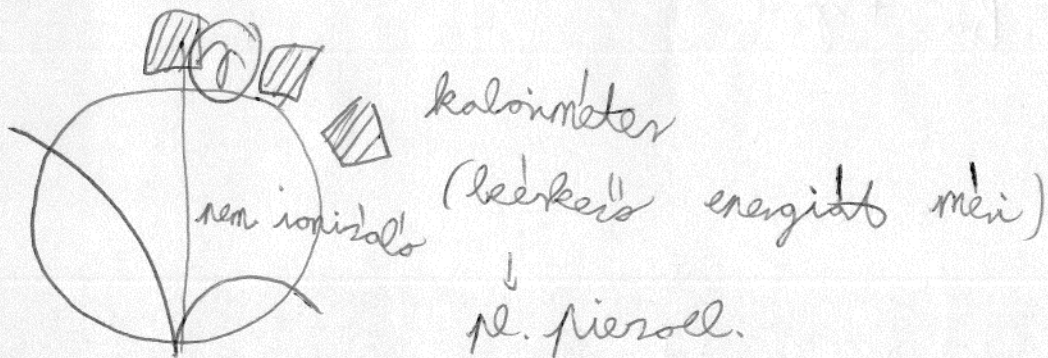
\rightarrow ebben a részben ki tudnak
csapadni az alkoholrészecskék,
HA ide be megy egy ionizáló
sug.



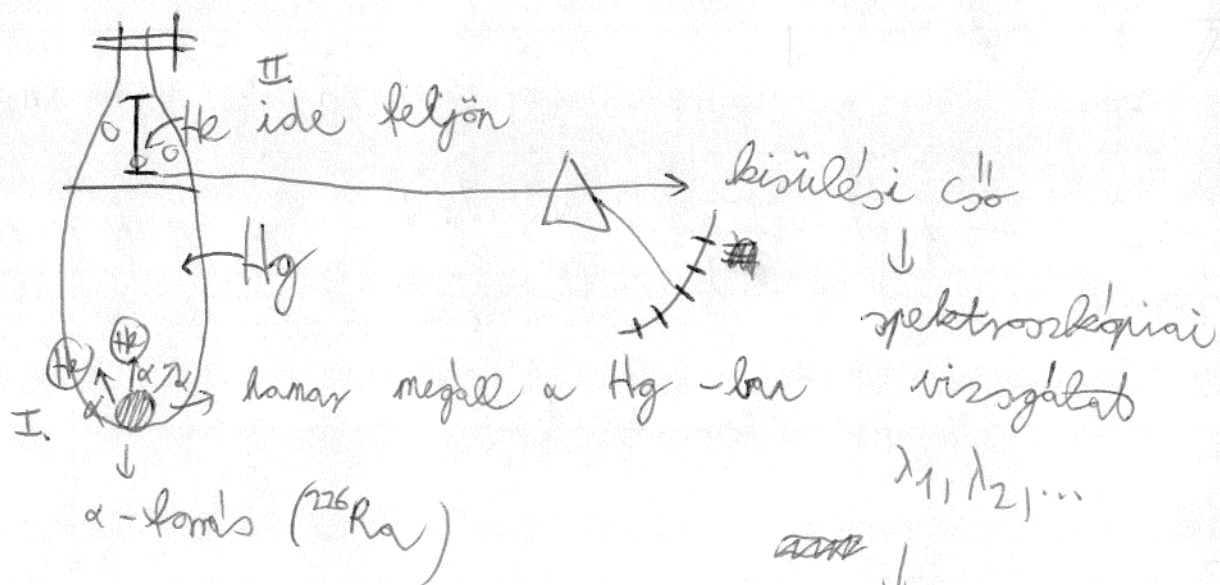
ionizációs sűrűség \rightarrow a részecskét meg
lehet mondani (a pálya
mentén mennyi rész.-t
ionizált)

mágneses β
 részleg
 polyarugón } $\rightarrow \frac{q}{m} \rightarrow \alpha = {}^4_2\text{He}^{2+}$
 $\beta = e^-$

• 1.5.2:



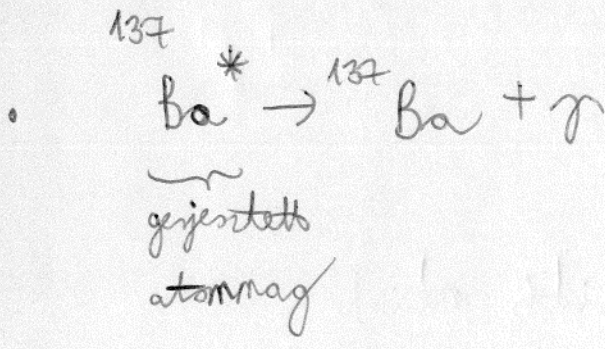
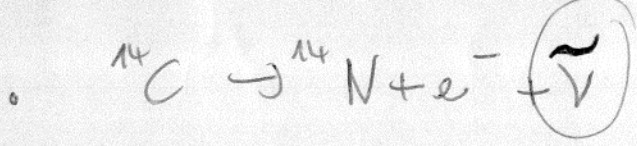
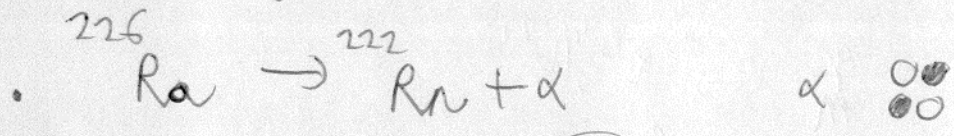
- 1.6: α -sugárzás (Rutherford)



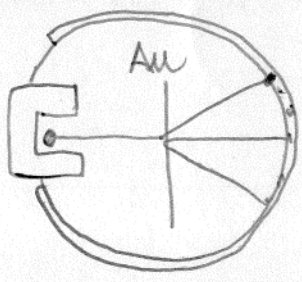
az α részecske \leftarrow
 a He atommagja

erek a vasalok a Nap
 sűrűségében is vannak
 (a Földön nem He
 robb)

bomlási egyenletei:



1.7: 1911, Rutherford - kísérlet



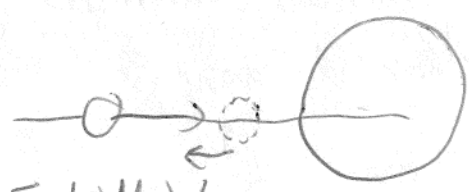
nyomdetektor
 polimer

↓
 a sugárzás (α) szórás a polimeren

$\frac{1}{\sin^4(\frac{\theta}{2})} \rightarrow$ pontszerűnek tekintett szövegcentrumok itt lyuk lesz

↓
 EM kölcsönhatás

↓
 Mekkora r_{max} ?



5-10 MeV

→ milyen közel lehet maximum?

$r_{max} \rightarrow$ ez csak egy felső becslés

korlát van csak

↑ emiatt közelebb nem lehet

természetes rad. sug. energiája

$$E_\alpha + 0 = 0 + \frac{k q_1 q_2}{r}$$

első lépés:

$$r = \frac{k e^2 Z_1 Z_2}{E_\alpha} = \frac{1,44 \text{ MeV fm} \cdot 2 \cdot 79}{5 \text{ MeV}} \approx 144,32 \text{ fm} = 47 \text{ fm} \approx 50 \text{ fm} \cdot 10^{-15}$$

"fermi" = fm = 10^{-15} m
(femtometer)

$$r = 52 \text{ fm} \cdot 10^{-12}$$

Atom

2. óra

1.8: Raktáskeresztmetszet

~) Atom és magfizikai reakciók valószínűsége jellemző, felület dimenziójú mennyiség, egy reakció valószínűsége:

$$\sigma = \frac{\sigma}{A}$$

$$\frac{dN_r}{dt} = N_r = \sigma \cdot j \cdot N_c$$

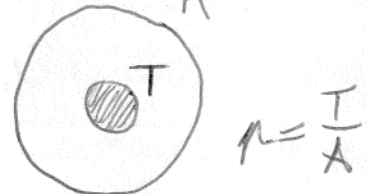
σ : hatáskeresztmetszet
 j : bejövő áramszűrő
 N_c : céltárgy száma

$$N_{BE} \rightarrow \overline{N_r}$$

↑
reakciószám
↓

σ : hatáskeresztmetszet (nem való)
 σ : tényleges keresztmetszet

klasszikus eset:



↓
céltárgy

r^+ és atommag, ha nincs k.h.:



↓
 σ : tényleges keresztmetszet

- a reakció ~~reak~~ binomiális eloszlású van:

$$\bar{N}_r = N_{Be} \cdot p$$

- ha több cselekvő van:

$$\bar{N}_r = p_i \cdot N_{Be} \cdot N_C = \frac{\sigma}{A} \cdot N_{Be} \cdot N_C$$

→ ezt adarell kiszámolni
(amint tudunk közvetlenül mérni)

$$\frac{N_{Be}}{b \cdot A} = j$$

$$\bar{N}_r = \frac{\sigma}{A} \cdot j \cdot A \cdot N_C$$

$$\frac{dN_r}{dt} = \sigma \cdot j \cdot N_C$$

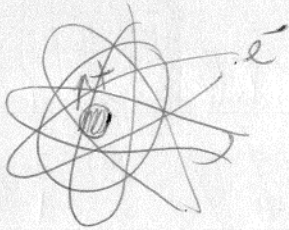
- $[\sigma] = 1 \text{ m}^2$ $1 \text{ barn} = 10^{-28} \text{ m}^2 = 100 \cdot (10^{-15} \text{ m})^2 = 100 \text{ fm}^2$

$10^{-15} \text{ m} = 1 \text{ fm} = 1 \text{ fermi}$ ↗

b) differenciális hatáskörrel:

- csak lényeges események vesződés figyelembe

c) Rutherford -modell:

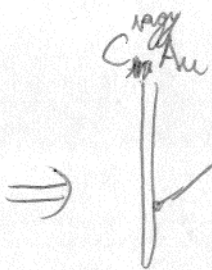


jelöl:

- nincs benne n^0 , p^+ is ^{a magban} valként pozitív töltés
- nem ismeri az elemi részecskék többletét
- nem ismeri az e^- hullámot
- az energia nem kvantumos benne

$$\frac{d\sigma}{d\Omega}(\theta) \sim Z^2$$

↑
származék töltése (rezolúció)



↓
minél nagyobb töltésű, annál jobban eltérít

1.9.1:

Mi van az atommagban?

p^+ , 1919, Blackett

Mi a p^+ ?

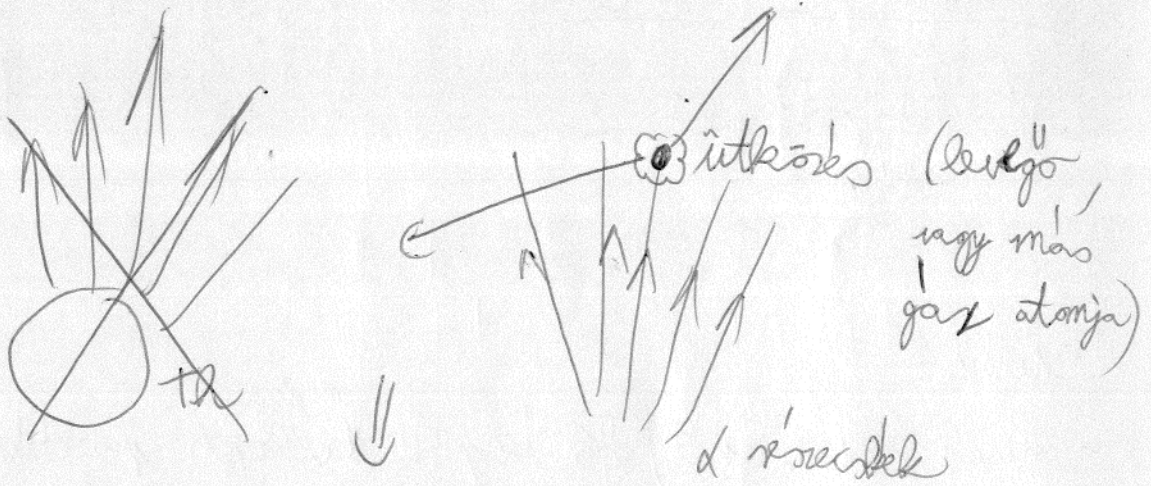
$\rightarrow p^+ = H^+ \leftarrow$ azo már tudták, hogy a H^+ tömege egyenlő a p^+ tömegével (Atoton, Demster)

~~Blackett~~ ködhammára

- Wilson-féle
- diffúzió



kísérlet:



α^+ felbontása \Leftrightarrow olyan részecskét lök ki az α részecské, ami a H^+ -al egyezik meg

192) Atommag modell 1

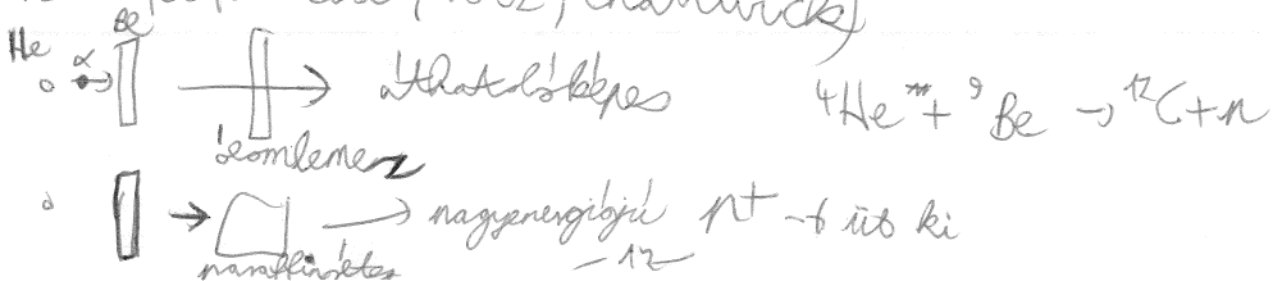
a) α^+ az egyik alkotórész:

- az atomok tömegét alkotja a tömegsz. mértékkel meghat.
- Rutherford-kísérlet \rightarrow a tömeg az atommagban van
- pl. ^{14}N tömeg: $14 \text{ db } \alpha^+ \rightarrow 7 e^-$ a hélyban
 $\searrow 7 \text{ db } e^-$ a magban!

de ez rossz:

- e^- -t nem lehet beszorítani (hat. hosszúságú pl.)
- a spin miatt nem jön ki

b) n^0 felbontása (1932, Chadwick)



1. kis. \rightarrow azo kisebb, γ sug. (nagy atomb. kép.)

2. kis. \rightarrow nagy energiájú p^+ csak ~ 60 MeV-es fotontólja
kibővni \rightarrow mégsem γ sug.

\Downarrow

p^+ -hoz hasonló tömegű, de semleges töltésű részecske

$\Rightarrow n^0$

DE ha az eddigi modellben a magban $p^+ + e^-$ helyett n^0

van \Rightarrow a p^+ -ok mi tartja össze?

(csak EM tartás van?)

\Downarrow

c) magrö: p^+ -ok és n^0 -ok (nukleonok) között hat

\equiv

~~(a p^+ töltésűs jelenség)~~

~~Vadász~~

1.10) A neutron létének következményei:

1) Az atommag alkotórészei:

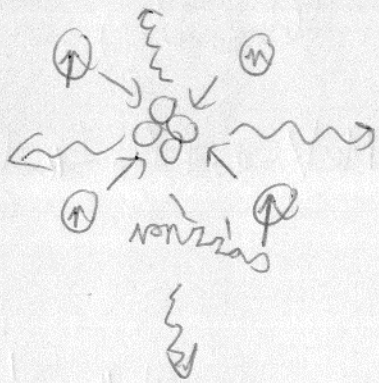
Z db p^+ + N db n^0

$A = Z + N$ az atommag tömege (mivel e^- a magban)

2.) A p^+ -okat egy erős tartja össze, ami erősebb az EM-nél

• magrö: p^+ és n^0 -ok között hat

\downarrow
• kötésenergia



EM + mag^{||}
potencial munkát végez

a feles energia elhagyja a magot
(ami az alkotórészek mag^{||} energiája volt)

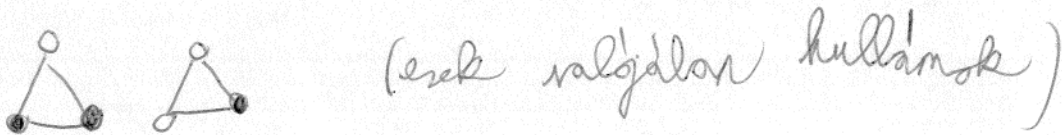
$m < Z \cdot m_p + N \cdot m_n$
atommag

$E_{\text{tot}} = (m - Zm_p - Nm_n) \cdot c^2$

⇒ az energiákat tömegspektroszkópiával tudjuk megállapítani

$E_{\text{költés}} = E_{\text{EM}} + E_{\text{mag^{||}}}$

1.10.3.) $3H$ és $3He$ összehasonlítása (mag^{||} meghat.)
(leggyorsabb atommagok)



$2n + n$ $2n + pp$

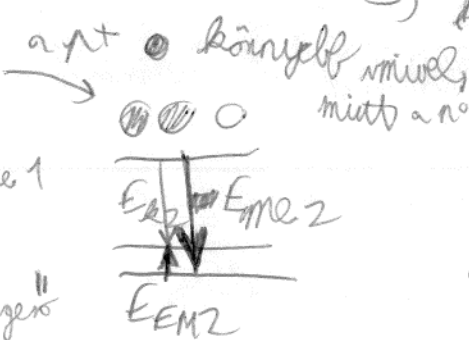
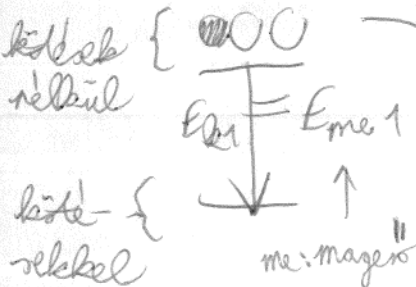
$n + pp$ k.h. lassítja a kötés (kisebb negatív szám)

⇒ standardnál azb kapjuk)

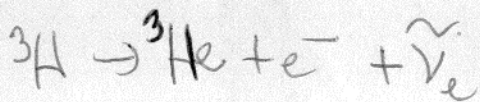
hogy ha a p^+ -ok

közt az EM k.h. -t lassítjuk

juk $E_{pp} = E_{nn}$ (EM) ⇒ $p^+ \approx n^0$



(inben is van tritium, ami bomlik)

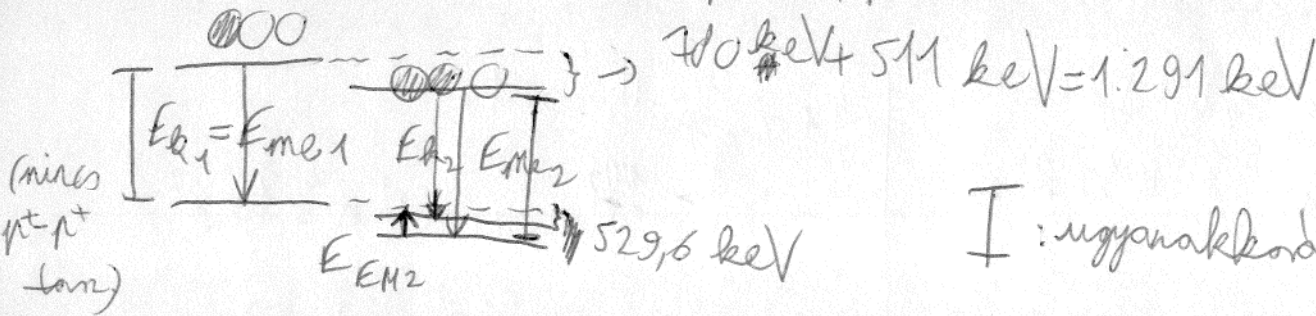


$$E = \overset{18,6}{\text{keV}} \text{ max} \text{ (maximális)}$$

~ 2 β bomlás energiáján más, mert az egyiknél kölcsönhatás is van a ~~szomszédos~~ közeli nukleonokkal

$$(m_{3\text{H}} - m_{3\text{He}})c^2 = \overset{18,6}{\text{keV}} + 511 \text{ keV} = 529,6 \text{ keV}$$

$$n^0 = p^+ + e^- + \tilde{\nu}$$



I: ugyanakkora!

a két állapot közötti energia

$$E_{k1} - E_{k2} = 760 \text{ keV} - 18,6 \text{ keV} = 761,4 \text{ keV}$$

$$E_{EM2} \approx (3/5) k e^2 / R = 750 \text{ keV}$$

$$\underbrace{E_{me1} - E_{me2}}_{\downarrow} = E_{k1} - E_{k2} - E_{EM2} = 760 \text{ keV} - 750 \text{ keV} \approx 0 \text{ keV}$$

me: mageró

⇓
= a mageró: töltésfüggetlen

⇓
ha p^+ -t és n^0 -t kicsirelűnk → mageró szimmetrikus marad

"isospin" ← ami megmarad

(isospinnek semmi köze a spinhez, se a forgáshoz, csak ez a neve)

4) prospin:
~~—~~ p^+ és n^0 : "kubleanis töltés"
 \rightarrow a magvó — "—" — "független"

azért spin, mert a magvóndék
 2 állapot lehet: p^+ vagy n^0 , melyek energiái magvó
 szempontjából megegyeznek

• $1/2$ -es spin Σ_7	"1-es spin" $\Rightarrow = 1$
felvált $+1/2 \hbar$	
S^2 $-1/2 \hbar$	
$\frac{1}{2}(\frac{1}{2}+1)\hbar^2$	
	$\Sigma \rightarrow \Sigma(\sigma+1)\hbar^2 = 1 \cdot 2\hbar^2$
	$\Sigma \rightarrow -1\hbar$
	$0\hbar$
	$+1\hbar$
	} 3 állapot lehet

$(2\sigma+1)$ db állapotok is lehet a "spin"

Spinek összerendelése:

$1/2 \otimes 1/2 \rightarrow 0 \oplus 1$ S^2 rendszere
 2 db állapot 2 db állapot
 1 db állapot 3 db állapot

de ezek az új (S^2) rendszerek nem saját állapotai

$1\uparrow$ $1\downarrow$ $1\uparrow$ $1\downarrow$ \Rightarrow kevéské állapot $\uparrow\downarrow$ (← lineáris kombináció)

ezek már az S^2 saját állapotai — 16

p^+ és n^0 is $1/2$ -es ~~isospin~~ isospinű részecskék

legyen $p^+ : +\frac{1}{2}$ $n^0 : -\frac{1}{2}$ (a 3. komponens részük csak)

~~11~~ 11 2 db p^+

6 ↓ 2 db n^0

↑↓, \Rightarrow 1 db n^0 , 1 db p^+
 az 1-es isospinű

állapot, csak a 3. komponens 0,

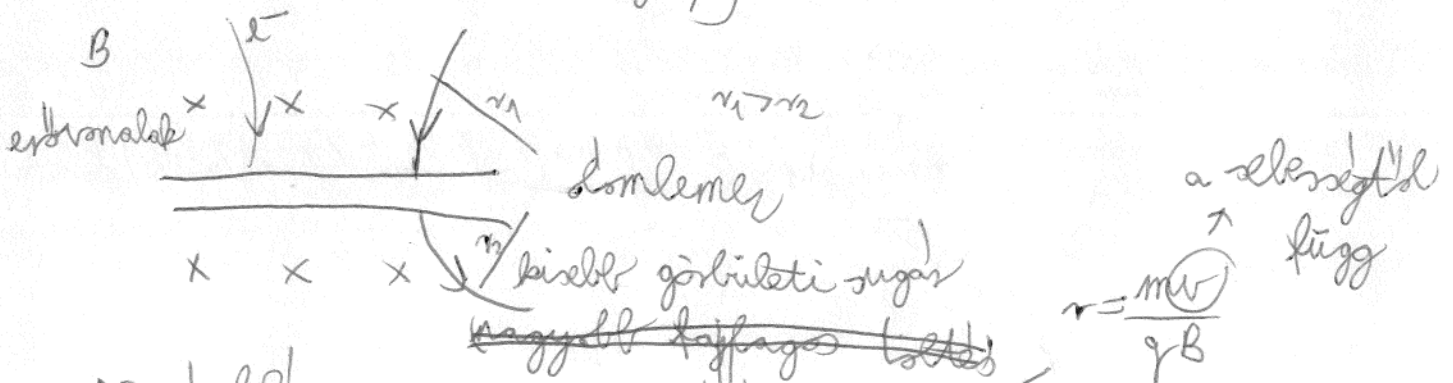
de másik komponens nem 0 \rightarrow ez

meg kell különböztetni

ez létezik, a többi nem (Pauli-elv miatt)

1.11) Positron felismerése

Anderson : kozmikus sugárzás ~~irányában~~^{1. tá} ködkamrával
 (1300 db fénykép)



DE másfelé

térül el, \in ez csak úgy lehet, \leftarrow
 mint az e^- !!! ha felülről jön, és ütköztetnek csökken

(ha a másik irányból ~~is~~ a sebessége
 jönne, ez lehetséges lenne, de) - 12

híjlag töltes meg, mint az e^- -nek!!!

(Pam)-Dirac-egyenlet:

$$\sqrt{m^2c^4 + p^2c^2} = E \rightarrow \text{a relativisztikus kvantummechanikát leíró operátornak 2 megoldása is van (x2 a spin miatt)}$$

↓ ↓ ↓
anyag antianyag

és találtak meg: pozitron

(párkeltés: foton $\rightarrow e^- + e^+$)



- annihiláció: (röntgensugárzás)

$e^- + e^+$ pozitronium "atom"

- pozitron lelassul: ionizálja a környezetet

- kerületben kerület = 0

↓
röntgensugárzás:



keingenek egymás körül (kerület) két

↓
csak
ellentétes
irányban



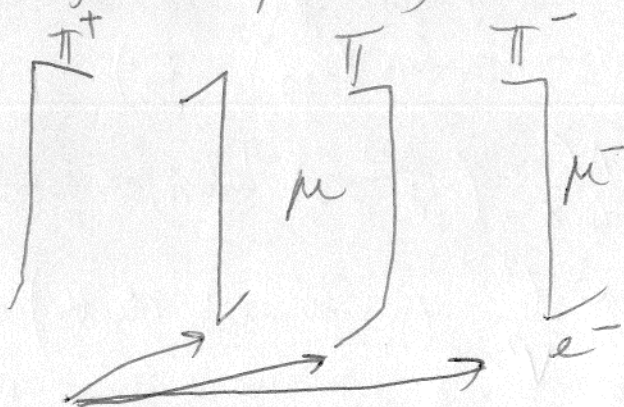
sugárzatraak két

1.12) ~~#~~ Mion lefedezése

μ - nagyobb tömeg, mint az e^- - nek,
de hasonló (elemi rész., antimion, stb.)

1.13) Pi-meson lefedezése:

(1947 Powell,attes) fotoművés (szj, hegyzet, kamikus sug.)



$$\mu^- \rightarrow e^- + \tilde{\nu}_e + \nu_\mu$$

→ ezt látjuk a ködkamrában

μ bomlásánál az e^- elkanyarodik (~~mezt~~)

(~~mezt~~ & foglalat)

$$\mu^+ \rightarrow e^+ + \nu_e + \tilde{\nu}_\mu$$

↓
leborul, annihilálódik → nem látjuk a ködkamrában

⇓
Miből jött létre a μ ?

$$m_\mu \approx 200 \cdot m_{e^-} \Rightarrow m_\pi \gg m_{e^-}$$

1.12) Müon felkutatása (folyt.)

(Andersen és Heideimayer)

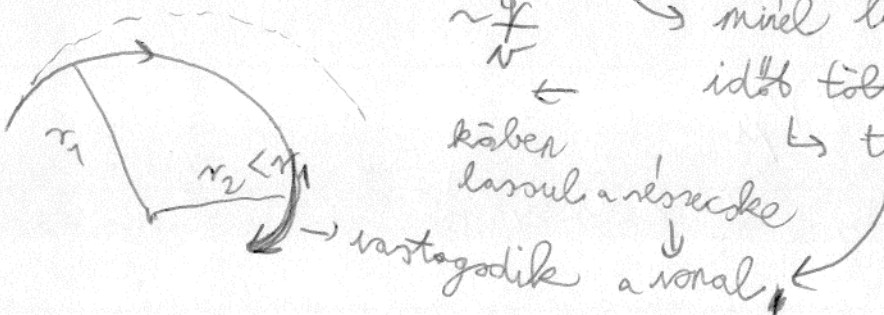
Kosmikus sug. → ködkamra felvételek mágneses térben:

- nyomvonalak pl. 1cm alatt hány részecskének feleltethető (lehet ionizációs csomópont is)

→ $\frac{\Delta E}{\Delta x}$ (egyirányú elektron leadott energia)

~ $\frac{E^2}{v^2}$ (az ionizáció miatt)

~ $\frac{q}{v}$ → mivel lassabb, annál több időt tölt az e⁻ közelemben → több energiát ad át



• pályasugár $r = \frac{mv}{qB}$ ebből $r \propto p$

○: eredeti irány

→ $r = \frac{mv}{qB}$
leolvasuk

potmeter → áram állítása (mi állítja be)

$m = \frac{rqB}{v} = r \cdot \left(\frac{q}{v}\right) \cdot B$

↑ pályasugárból nyomóerűvel

DE nyugalmi tömeg $m_0 c^2 = \sqrt{E^2 - p^2 c^2}$ ← $p = rqB$

$$m_{\mu} = 210 \cdot m_e \rightarrow \text{új rész}$$

tulajdonságai:

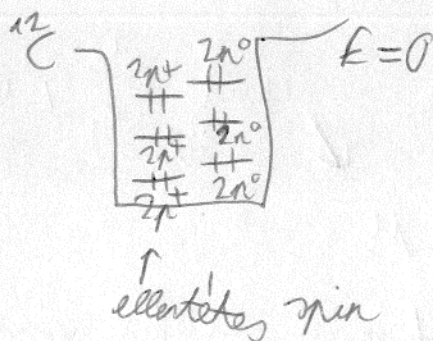
- negatív elemi töltés, $1/2$ spin
- $2.2 \mu\text{s}$ élettartama (kevesebb a neutron után)

$$m_{\mu} = 105.7 \text{ MeV}$$

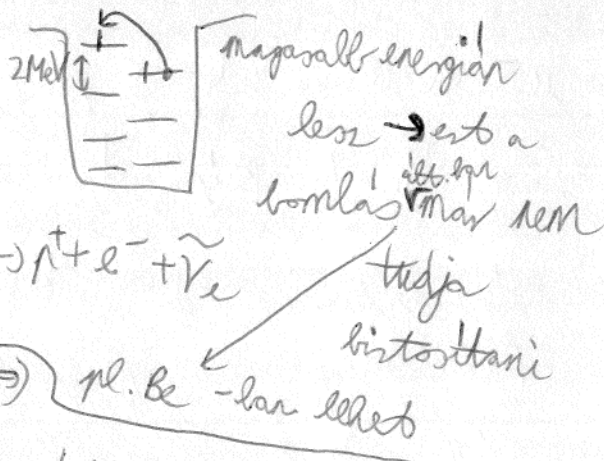
a kötött n^0 nem bomlik
 $n \rightarrow p^+ + e^- + \bar{\nu}_e$

forrása: kozmikus sug.

atommag \rightarrow potenciálgömb



ha elbomlana az egyik n^0



Magfizikai időskála

egység: az az idő, amennyi idő alatt a fény átjut a p^+ egyik oldaláról a másikra



$$2fm \quad t = \frac{2fm}{3 \cdot 10^8 \frac{m}{s}} = \frac{2 \cdot 10^{-15} m}{3 \cdot 10^8 \frac{m}{s}} = 0.7 \cdot 10^{-23}$$

(ennél gyorsabban nem tud terjedni az info)

n° Hperc $22 \cdot 10^{-6}$ s

élettartam: 10^{+17} i.e.

- müionok keletkezése:

• nem radioaktív módon keletkezik!

• kozmikus sugárzás

Nap, iddén izzó mág. tér \rightarrow gyorsított p^+

Föld légkörével \leftarrow (GeV-es)

↓
ütközés

μ^-

- μ^- : nagy tömeg \rightarrow kis gyorsulás \rightarrow kis fékezési sugárzás
 \rightarrow ionizációval veszi el az energiát

- μ^- fluxus: 4-5 μ^-/s emberen

- nagy áthatóképesség

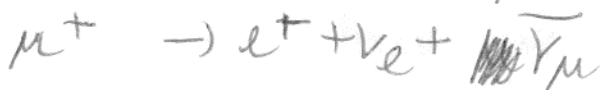
- idődilatació egyik bizonyítéka

(rel. elm.,
rajt idő)

$$\underbrace{2200 \text{ ns}}_{\text{rajt rendszer}} * \underbrace{30 \text{ cm}}_{\text{fényseb}} / \underbrace{c}_{\text{m}} = 660 \text{ m}$$

↓
de ennél mi tovább élünk

- μ -bomlása:



1.13) Pi-meson felépítése:

- 1947, Powell, Lattes → Nobel-díj
- Fotoemulzió → vastag szelvényű, Ag tartalom

↓
új technológia

$$m_{\pi^{\pm}} \approx 150 \text{ MeV} \quad m_{\pi^+} > m_{\mu^-}$$

- nem elemi részecske (mikro~~sz~~ rész. ~ p^+, n^0)

• bomlása:

$$\pi^- \rightarrow \mu^- + A$$

A, B, C, D semleges rész.: neutrínók

$$\pi^+ \rightarrow \mu^+ + B$$

↓
l. kétször

$$\mu^- \rightarrow e^- + C + D$$

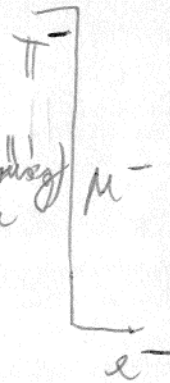
$$\mu^+ \rightarrow e^+ + E + F$$

2 semleges rész.

$$\begin{matrix} // & // \\ C & D \end{matrix}$$

↑ (nyomjelölés)
adott energiájú

μ^- -ra az e^- energiája



eltérő → ez

csak úgy lehet, ha

2 seml. keletkezett

$$\otimes \rightarrow \square + \star$$

3 részecske
bomlásnál
keletkezésénél
ostonosan
az imp.-on

$$E_1 \rightarrow E_2 + E_3 + Q$$

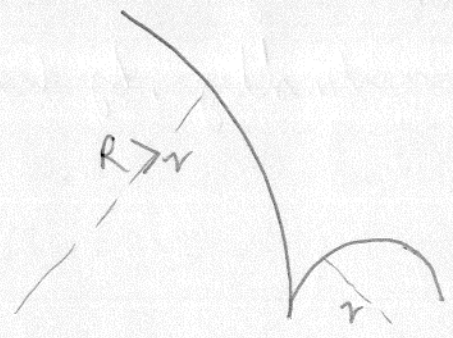
$$\vec{p}_1 \rightarrow \vec{p}_2 + \vec{p}_3$$

az energiák
fixen kijárolhatók

-23- az inka mesemond! mi

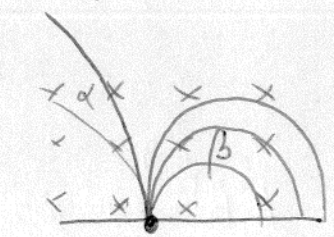
1.14) A neutronok felépítése:

$$r = \frac{mv}{qB}$$



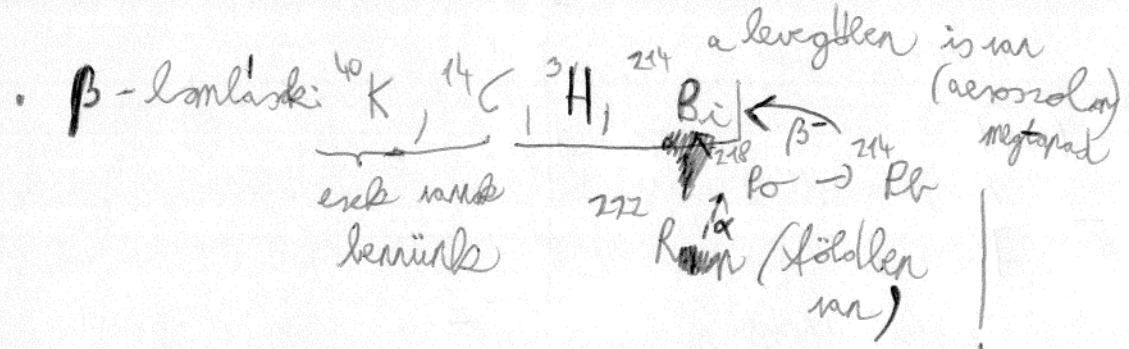
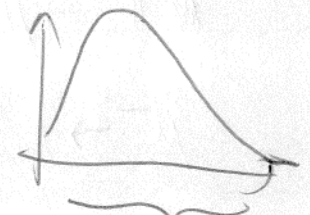
ha $r_1 > r_2, m_1 > m_2$

tömegspektr.:

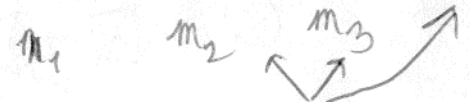
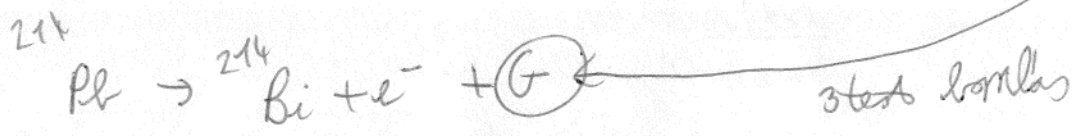


rad. forrás mds. energiaeloszlása e^- -k

$$\left(r = \frac{mv}{qB} \right) \rightarrow \frac{v^2}{2m} = E_m$$



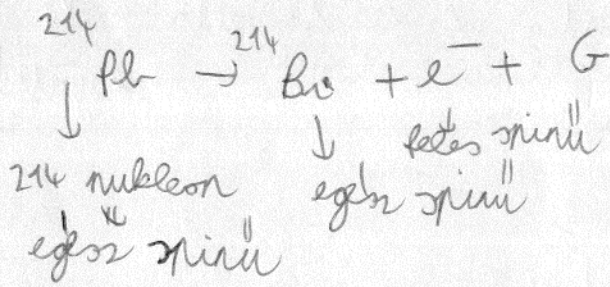
folytonos az energia spektrum



$$Q = (m_1 - m_2 - m_3)c^2 \quad \text{maximális energia}$$

1. Milyen folytonos az energiaspektrum?
2. Honnan lesz a hiányzó energia?

3. Spin \rightarrow perdületmegmaradás



\rightarrow Wolfgang Pauli 1931:

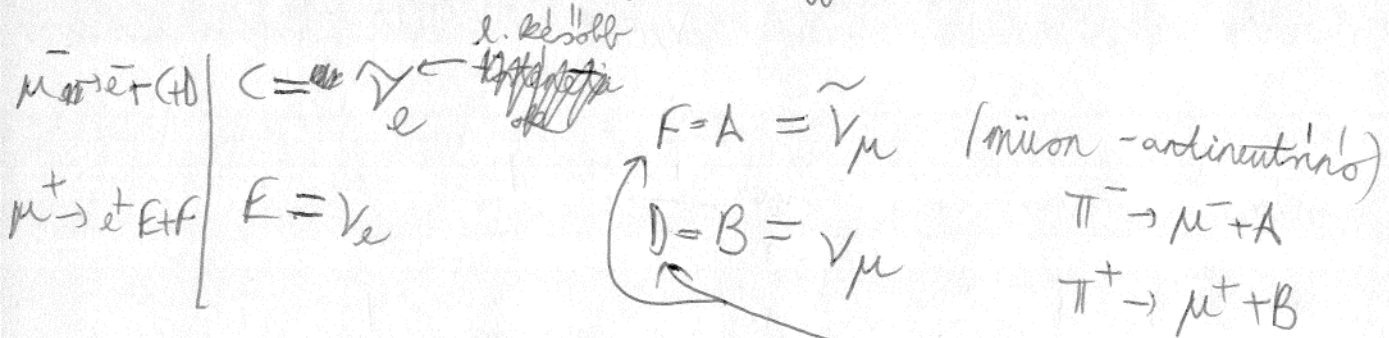
új rész. keletkezik, ami nem hat kölcsön a detektorokkal

\hookrightarrow neutrino

De milyen? \rightarrow π bomlása

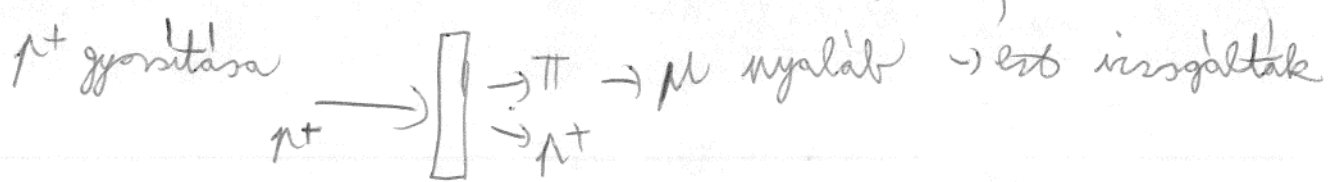
$$\Downarrow \\ C = G$$

- ν elnevezése: ~~mit~~vel együtt keletkeznek?



(1.12.) Műonok mesterséges előállításai:

μ^+ forrás: $H_2 \rightarrow$ ionizáció (EM től)



a μ^+ nem bomlik el, ~~soha~~ nem is áll le \rightarrow kb 100 MeV-es μ^+

$\mu^- \rightarrow e^- + \tilde{\nu}_e + \tilde{\nu}_\mu$ mindig es keletkezik a $\tilde{\nu}_e$ -vel együtt!!

$\mu^+ \rightarrow e^+ + \nu_e + \tilde{\nu}_\mu$

1.15) Lepton szám megmaradás:

elemi rész

e^- lepton száma: 1

↓

$\tilde{\nu}_e$ -||- : -1 ⇒ antilepton

~ természet külön kezeli őket

elektronikus lepton szám 0 +1 -1 0

müonikus -||- +1 0 0 1

$\mu^- \rightarrow e^- + \tilde{\nu}_e + \tilde{\nu}_\mu$

1 1 -1 1

↳ 0 1 -1 0

1 0 0 1

$\mu^+ + \tilde{\nu}_\mu$ $\mu^+ \rightarrow e^+ + \nu_e + \tilde{\nu}_\mu$

0 -1 +1 0
-1 0 0 -1

↑
nem volt hely, hogy ν_μ keletkezett volna vele

⇒ a leptonok párosával keletkeznek!

$e^- + \tilde{\nu}_e$

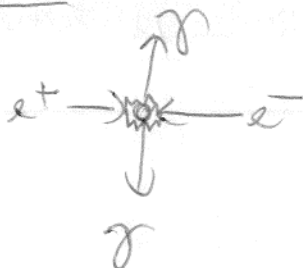
$e^+ + \nu_e$

↓
a kiegészítés ezt mondja

(hogy megmaradjon a lepton szám)

ÉS párosával tűnnek el:

$e^+ \quad e^-$
-1 +1



↓

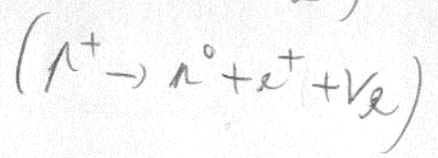
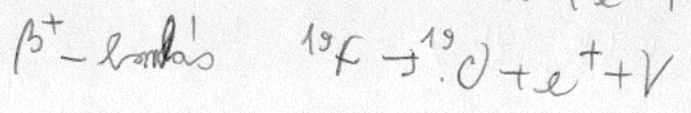
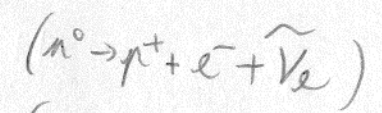
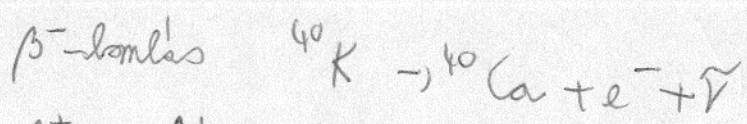
- lepton "család":

e^-, μ^-, τ^-

ν_e, ν_μ, ν_τ

és antileptonok

- Kétféle neutrínó van? Első lépés...



$\bar{\nu}_e \stackrel{?}{=} \nu_e$ Nem.

(Reines-Cowan és Davis kísérlettel lehet a kettő
szkülön-külön érzékelni)

↓
ha ugyanaz lenne, ~~mindegyik~~ mindkét detektor érzékelni

• kísérleti tapaszt. : e^- csak ~~az~~ elektronikus neutrínóval kölcsönködik

	e^-	e^+	ν	$\bar{\nu}$
elektronikus	1	-1	1	-1
leptonikus				

- mionikus - " - 0 0 0 0
- tauikus - " - 0 0 0 0

mind 3 külön-külön megvan!!

1.13) π mezonok:

a) 3 db van: ~~(2 db)~~ π^+

π^0 π^- \rightarrow ilyen is létezik, sokkal nagyobb a tömege, mint a többinek

isospin=1 $\rightarrow T_z = 1, 0, -1$

\uparrow az isospin 3. komponense adja meg a töltést

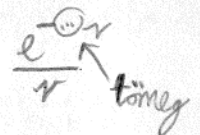
b) π mezon kapcsolata a magrésszel:

• hat magrés hatótávolsága



$f = \frac{\Delta F}{\Delta t}$

\swarrow Yukawa-elmélet



követelték ~~közös~~: ez vissza az impulzust

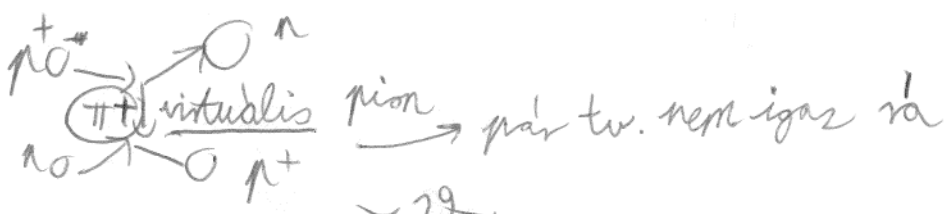
• a k.h. hatótávolsága:

$d = c \cdot t = \frac{hc}{\Delta E} = \frac{hc}{m_{\pi} c^2} = 1,3 \text{ fm} \rightarrow$ ha $m_{\pi} c^2 = 150 \text{ MeV} \approx m_{\pi} c^2$

Reisenberg-~~le~~ hat. távolsági rel.

$\Delta E \cdot \Delta t = h$ } hatótávolsága

$\rightarrow \pi$ mezon a magrés követelti:



4. óra
Ítton a kvarkok felé

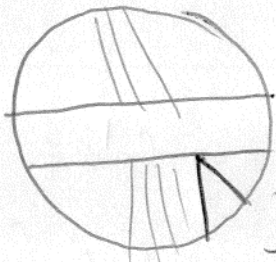
0) Ísm:
Leptonok

e^- μ^- τ^-
 $(e^+ \quad \mu^+ \quad \tau^+)$ \downarrow
 ν_e ν_μ ν_τ \rightarrow kísérletileg elkülöníthetőek
 $(\bar{\nu}_e \quad \bar{\nu}_\mu \quad \bar{\nu}_\tau)$

$m_{e^-} = 511 \text{ keV}$

V-észcskék (kaonok):

1)



ködkamra

villa alakú jel \rightarrow V-észcskék

\rightarrow minél a bomlások keletkeznek,
(ez \approx 2 rész.), de azt nem látjuk

semleges ν -rész.

$c = \frac{30 \text{ cm}}{\text{ns}}$

$30 \text{ cm} >$ pályás jár be \Rightarrow gyorsan ellomlik

- pályasugár
- nyomdúság $\sim \frac{E_{leadott}}{1 \text{ cm}}$
(vonalvastagság)

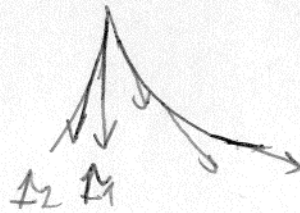
2 kettő keletkezési rész: π^+ , π^- (többség megmarad)

→ e^-, e^+ pár nem lehet (keves a tömeg) } ezeket kizárta
 → π^0 sem lehet

↓
 új rész.: kaon (K^0) (a vlla nyel)

2) Mekkora m_{K^0} ?

impulzus \perp irány
 nagysága



nyomvonalak \rightarrow r : nyomvonalak = $\frac{\text{de körécsapp}}{\text{cm}} = (\dots) \frac{3}{v^2}$
 számítottak $r = \frac{mv}{qB} = \frac{m_0 v}{qB \sqrt{1 - \frac{v^2}{c^2}}}$ sebesség!!

$m_0 \rightarrow \frac{m}{\sqrt{1 - \frac{v^2}{c^2}}}$

$$E = \frac{m_0 c^2}{\sqrt{1 - \frac{v^2}{c^2}}}$$

A bomlás során az energia megmarad:

$E^2 = m_0^2 c^4 + p^2 c^2 \leftarrow$ defini: $E = m \cdot c^2$
 $p = m \cdot v$
 $m = \frac{m_0}{\sqrt{1 - \frac{v^2}{c^2}}}$

$$E_{K^0} = E_{\pi^+} + E_{\pi^-}$$

$$m_{K^0} c^2 = m_{\pi^+} c^2 + m_{\pi^-} c^2$$

↓

$$m_{K^0} c^2 = 500 \text{ MeV}$$

$$m_{\pi^+} c^2 \approx 100 \text{ MeV}$$

az e^- , μ^- , π^- -nél nagyobb,
de a p^+ -nél kisebb

3) Élettartama:

10^{-24} s : nukleáris időegység

~~K⁰~~ kaon ~~élettartama~~ : 10^{-10} s → ~~élettartama~~ viszonylag stabil

kibekés:
(kiv. valószínű)

$$\frac{2}{3} \frac{2}{3}$$

↓ a keletkező fotonok is van perhülete)

↓
analógia:

"ritkaságok": hosszú élettartam (pl. 1, 2 ritkaságok)

↳ a ritkaságok megmarad, pl.

$$2 \rightarrow 1 \quad 1$$

$$K^0 \rightarrow \pi^+ + \pi^-$$

II) Antiproton

1955, Sege, Camberlain

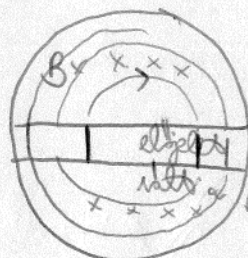
Berkeley (USA, NY part) → első ciklotron gyártó
San Fr. mellett

1)

elöljáró



homogén magn. tér



kond. U_0 sin ωt

ha jól választjuk előjelét, mindig gyorsítja a részecskéket

$$r = \frac{mv}{qB}$$

$$\frac{v}{r} = \omega = \frac{qB}{m}$$

Ciklotron elv.:

• a kis és nagy seb. -ű részecskék

← az üreg seb. független a sebességtől és a pálya sugarától

ugyanakkora idő alatt emek körbe !!

$$T = \frac{2\pi m}{qB} \rightarrow \text{ilyen frekvenciával kell kapcsolgatókat és kondenzátorokat}$$

$$\boxed{\omega} \quad 18 \text{ MHz} \quad \omega = \frac{q}{m} \cdot B$$

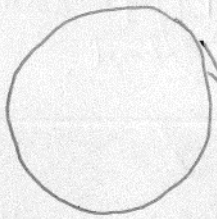
(adott rész. mellett)
↳ adott frekvenciához adott B kell, egyébként nem gyorsul

DE rel. effektusok

↓
 kívül nagyobb magn. tér → relativisztikus elektron

nyolblétkorszak

csomagokban mennék a p^+ -ok



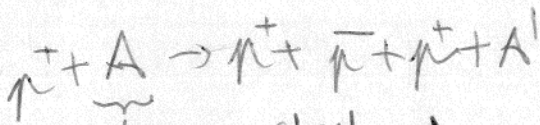
kisredő elektronika

↓
 csak felépítésenként lehet
 kisredni a csomagokból

Bevetés gyorsító

↳ 6 GeV → gyorsítás (195)

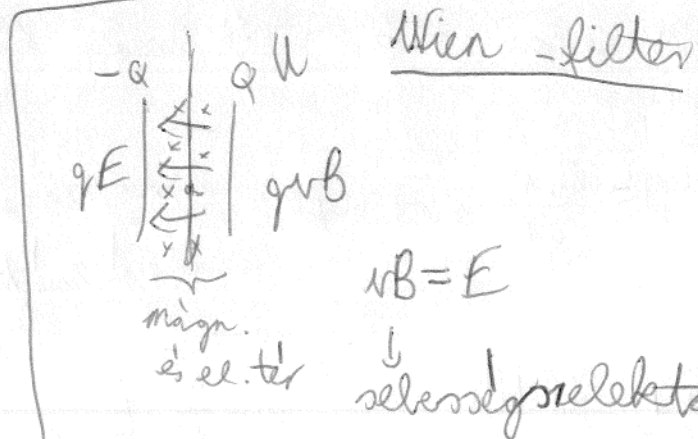
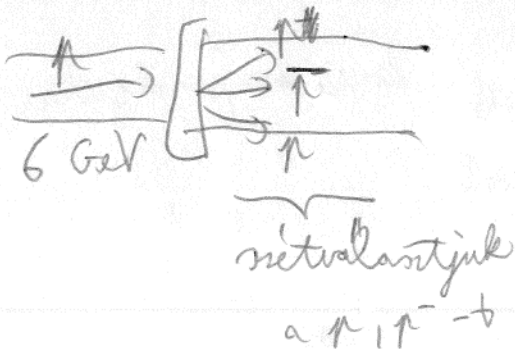
$$m_p \cdot c^2 \approx 0.938 \text{ GeV}$$



atommag (célanyag)

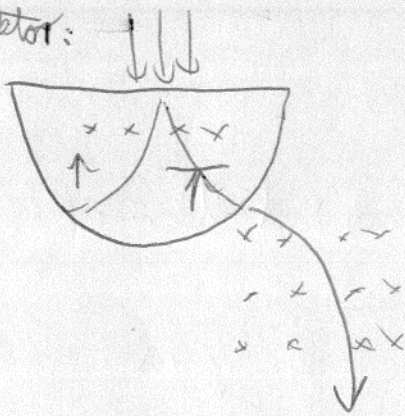
legnagyobb 4 GeV kell

ilyen $p^+ - \bar{p}$ pár keletkezik



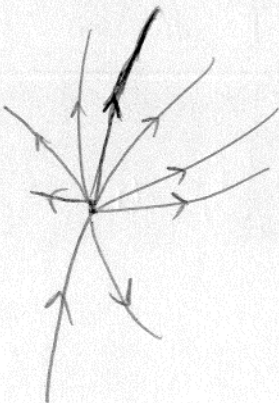
(a p^+ -t és \bar{p} -t ilyenkor nem lehet
 nétszedni)

$\pi^+ - \pi^-$ selektor:



irratentes
+ sebességselektálás

2) $\pi^+ \pi^-$: ~~annihilációs csillag~~ annihilációs csillag



páros számú van!

(6, 8 is lehet)

nyomsűrűség
pályasugár

$3\pi^+ - 3\pi^-$ v. $4\pi^+ - 4\pi^-$

\Downarrow
 m_0

mindent π^+ és π^- lett (π^- bomlott μ^- -ra)

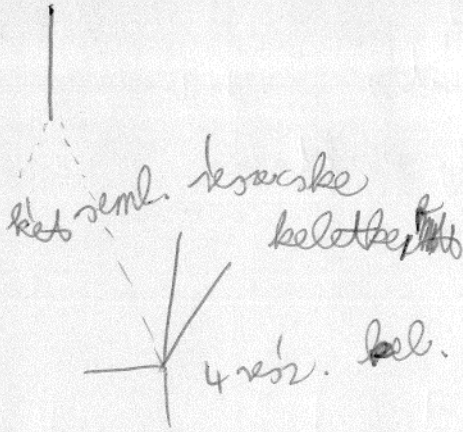
Nem keletkezik γ sugárzás!!

3) katiprotan annihiláció: V_2

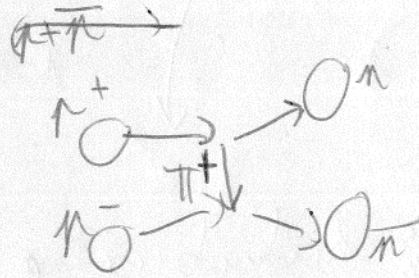
$\pi^+ - \pi^-$ ütk.: egy semleges rész. is keletkezik, majd elbomlik két V alakban menő, töltött részre

új V -rész. ~~keletkezik~~: Λ^0

III) n^0 annihiláció



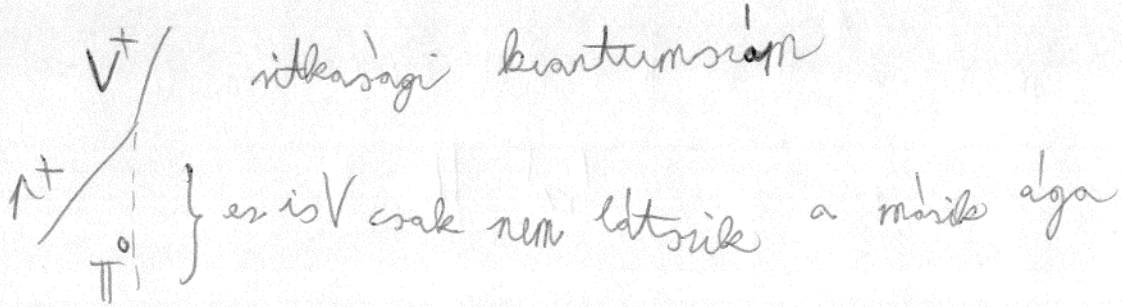
→ magyarázat: töltéscseré



π^+ : virtuális π^+ mezon \rightarrow a
 vákuumból van kölcsön az
 energiáját, és nem is adja

IV) V -rész. 3:

- töltött V részre!

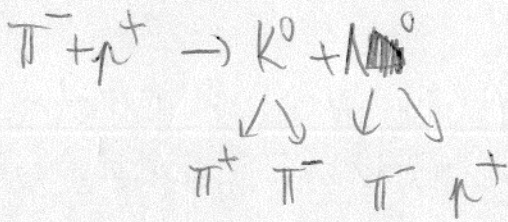
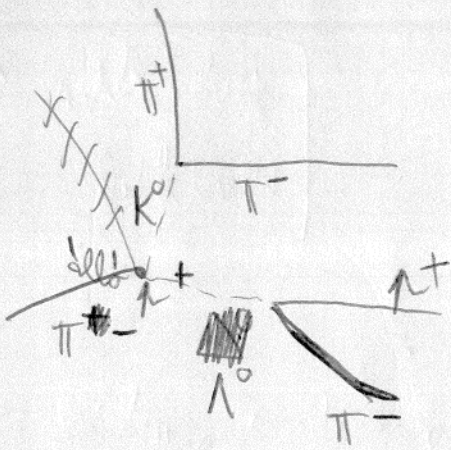


~~Σ^+~~ : hiperon \rightarrow ennek ~~az energiáját~~ a tömegét nem lehet meghat.
 (π^0 -t nem látjuk kölcsönben)

V) ~~V rész (medytatals)~~

- π^+ nyálka! (új techn.)

∪



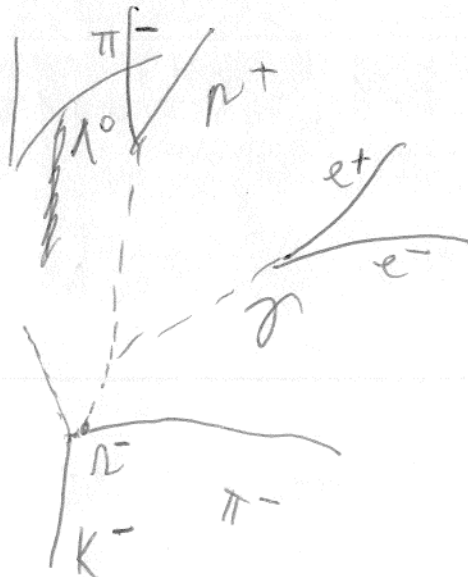
Λ^0 elletöntoma kosmalt, misto $K^0 - e^-$

⇒ 3 itka räsceske:

- K^0
- Λ^0
- Σ^+

V) π^- räsceske:

Kaonde nyalalija: K^- (ilyet is ~~talhata~~ talhatak mas)



π^- itkasaga: 3 !!

VI) Ritkaság

jóvó lehet 13^{o5}-kor
keszülök az 'or!

$\tau = 0$ nincs itt.

(strangness)

pi⁰ on -es utó után bomlik:

reakciók

- elhalál bejövő (nyalábreakció → a másik részecskétől itt.)
- spontán elbomlott 1 részecské

(Elvileg neki is lehetne a köd kamra anyagának, de nem ez történt)

spontán bomlás után ritkaság veszik el

V) π^- reakció leírása:

• $K^- + p^+ \rightarrow K^0 + K^+ + \pi^-$

• $\pi^- \rightarrow \Xi^0 + \pi^-$ ritkaság $-3 \rightarrow -2$

laktatás $\Xi^0 \rightarrow \Lambda + (\pi^0 \rightarrow 2\gamma)$ $-1 \rightarrow -2 \rightarrow -1$

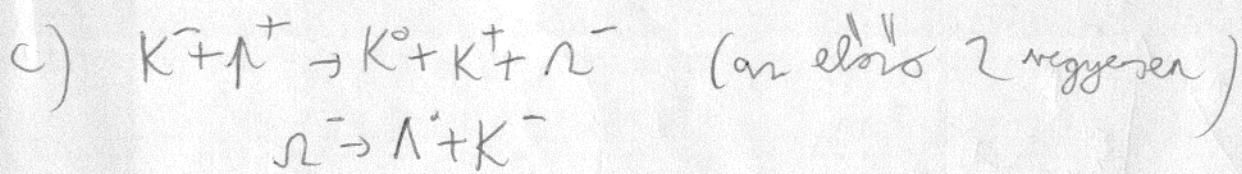
de csak úgy lehet, hogy $\tau(K^-) = -1$, $\tau(K^+) = +1$

b) π^- részecské más keletkezés:

$K^- + p^+ \rightarrow K^+ + K^+ + \pi^- + \pi^-$

$\pi^- \rightarrow \Lambda^0 + K^-$
 $\Lambda^0 \rightarrow p^+ + \pi^-$
 $-1 \rightarrow 0$

keletkezés ritkaság megmarad, bomláskor csökken

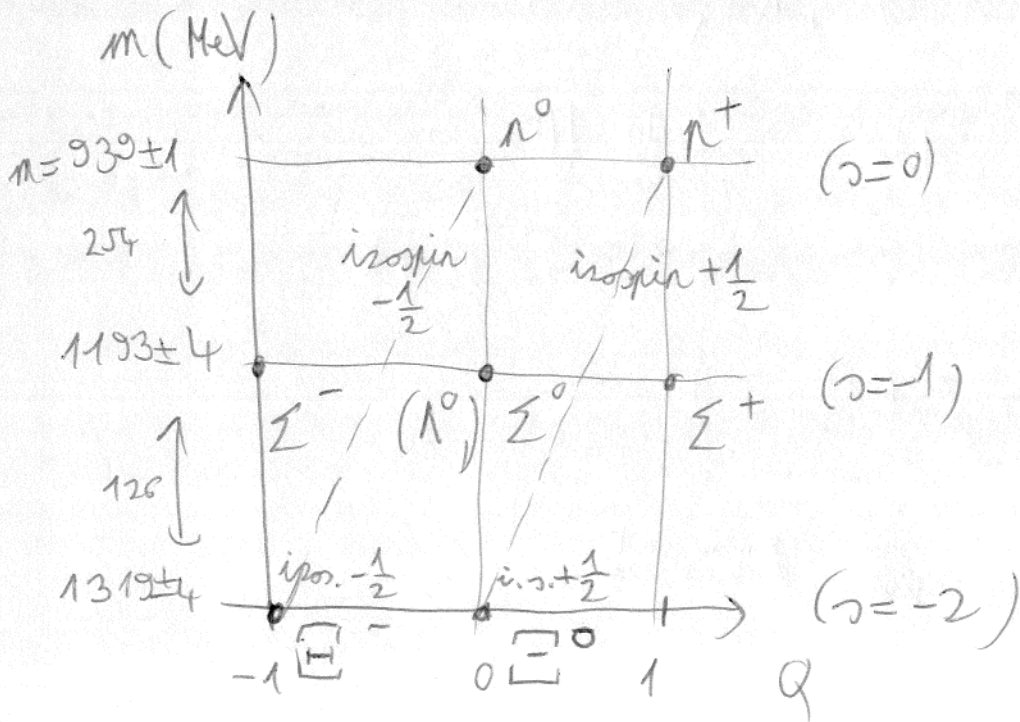


⇓

Új részecskék:

	ritkaság	tömeg
K^0, \bar{K}^0, K^+, K^-	± 1	~ 500 MeV
Λ^0	-1	~ 1116 MeV
$\Sigma^+, \Sigma^-, \Sigma^0$	-1	~ 1190 MeV
Ξ^-, Ξ^0	-2	~ 1320 MeV
Ω^-	-3	~ 1672 MeV

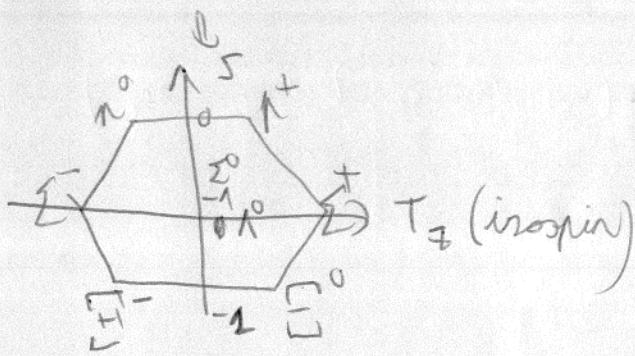
A nehezebb részecskék osztályozása (!)



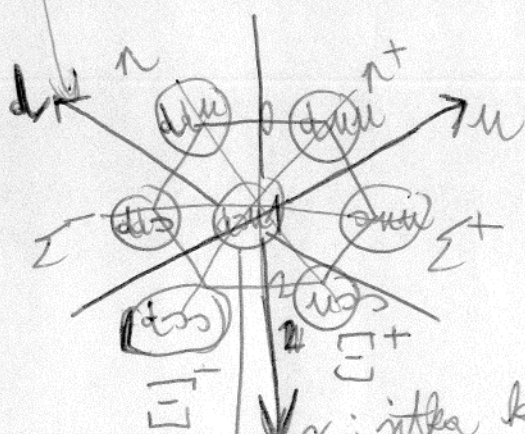
→ a ritkaság korrelál a tömeggel

Új kvant. számok: isospin! : azonos tömegű állapotok kül.

39 töltésállapotait jelöli



Kvark-gondolat !!



3 kvarkból áll: barionok

$\bar{3}$: ittka kvark

$\bar{6}$: ittka kvarkok szama a barionok

itt 2 féle is lehet: Σ^0, Λ^0 ✓

$(d \leftrightarrow u) \rightarrow$ ciklikus permutáció számít !!

(hányféleképpen van \rightarrow E_{ijk})

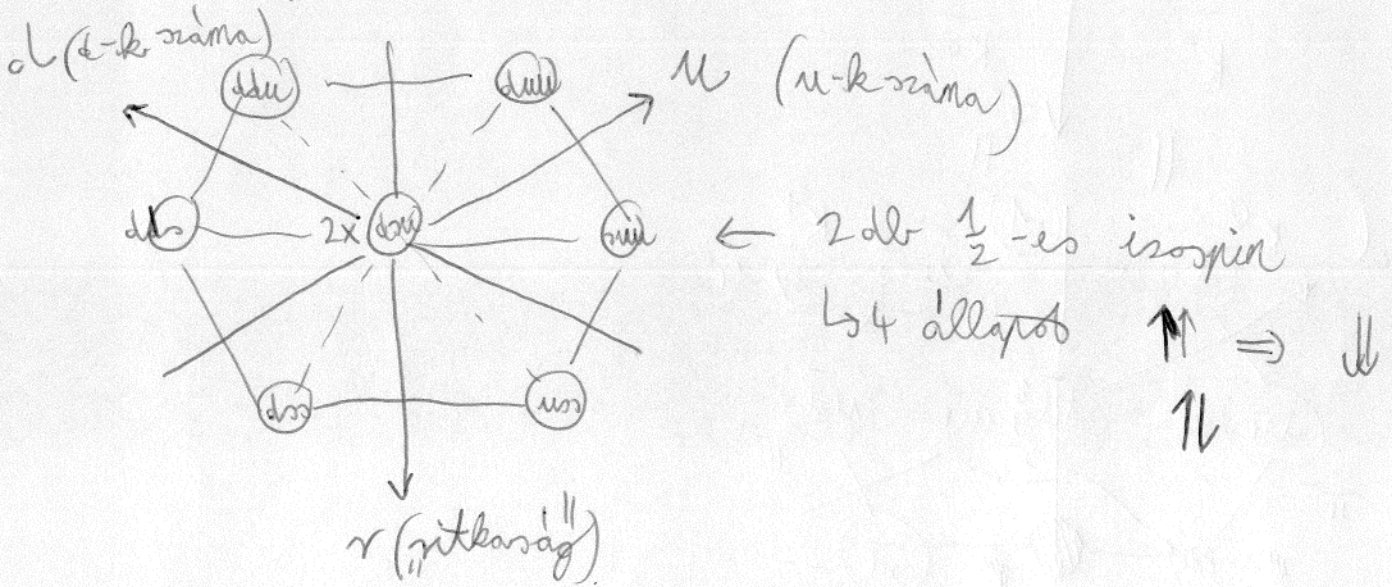
(szimmetriai megfontolások)

u, d : az isospinjük különbözik

5. óra

1) Kvark-gondolat.

ha ugyanolyan tömegűkkel több van \rightarrow "isospin"



$d, u: \frac{1}{2}$ isospin (középsül kvark: $\frac{1}{2}$ -es isospin)
 $s: 0$ — —

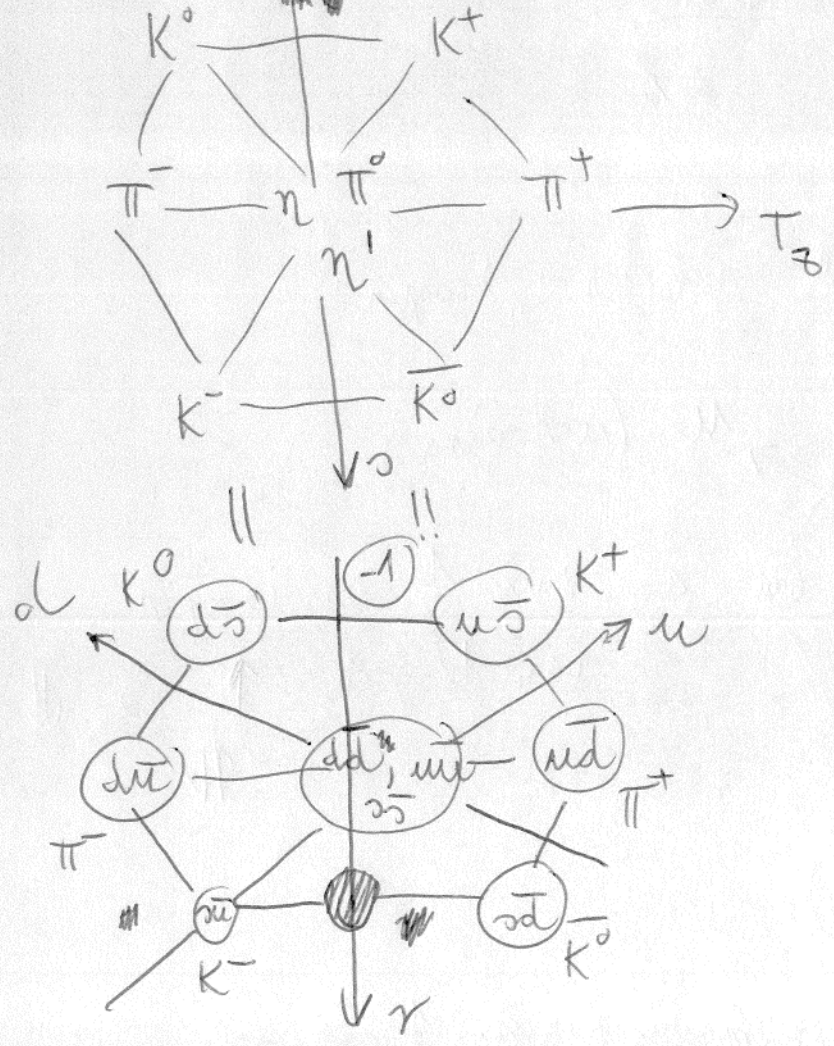
\hookrightarrow ha a \neq komp.:
 $+\frac{1}{2}: u$
 $-\frac{1}{2}: d$

\downarrow
 ez a modell jól megmagyarázza $V-b$

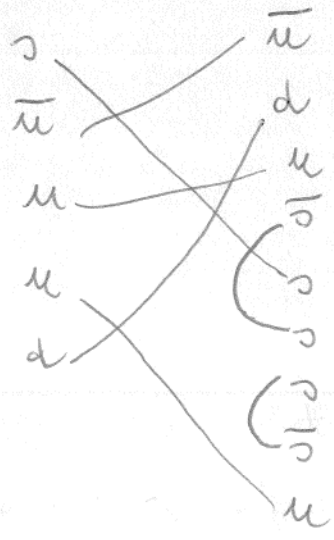
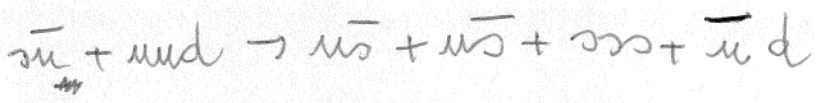
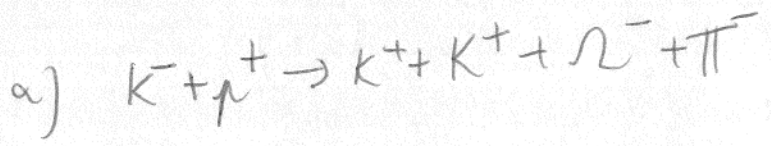
	u	d	s
isospin \neq komp.	$1/2$	$-1/2$	0
isospin	$1/2$	$1/2$	0
ritkaság	0	0	-1
spin	$1/2$	$1/2$	$1/2$
el. töltés	$2/3$	$-1/3$	$-1/3$

$\in p^+, n^0, \dots$ töltése kijön ebből
 $2x u$ és d ~~különbsége~~ $= e^-$ töltése!!
 töltés

2) Kőrepes tömegű részecskék:



3) Reakciók a kvark-repítésben:

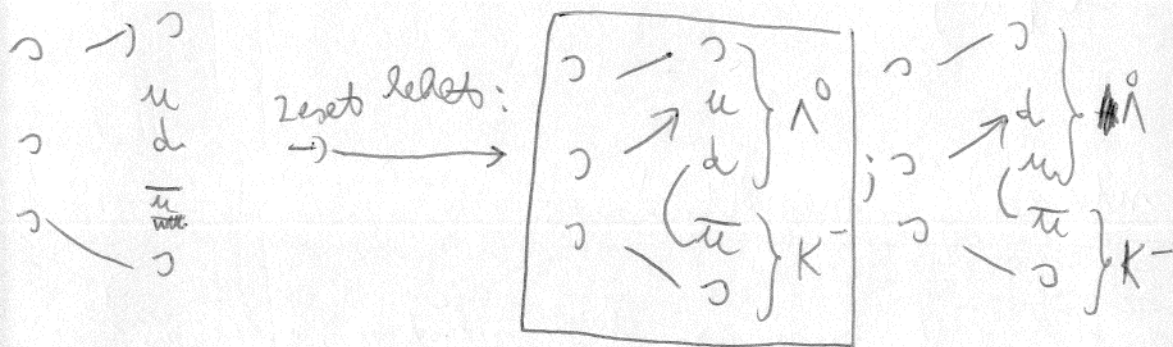


2db $s-\bar{s}$ pártól is tartózkod !!
(morsz. en. alakult Λ^0)

b) $\Sigma^- \rightarrow \Lambda^0 + K^-$

$ss \rightarrow dsu + su$ csökkent a ritkaság

nem keletkezés, spontán bomlás! \rightarrow a 2 kültónbőr!!
(+név.-vel)



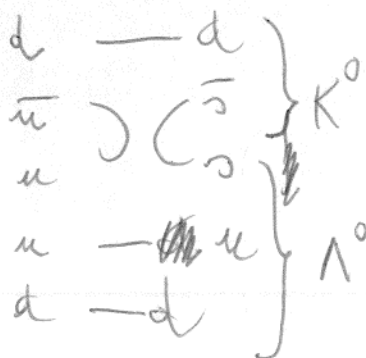
ez valóban meg!

megoldottak az is

íj $m_0 - b$ ($m\bar{u}$) a tömegkülönbség $(m_0 - m_d)c^2$ és a köts erőssége fedeti

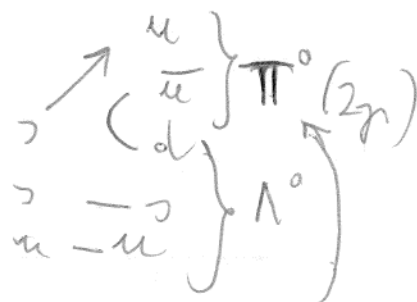
c) $\pi^- + p \rightarrow \Lambda^0 + K^0$

$d\bar{u} + uud \rightarrow dsu + d\bar{s}$



$\Xi^0 \rightarrow \Lambda^0 + \pi^0$

$ssu \rightarrow dsu + \dots$



ez nem teljesen helyes, $\pi^0 \neq u\bar{u}$,

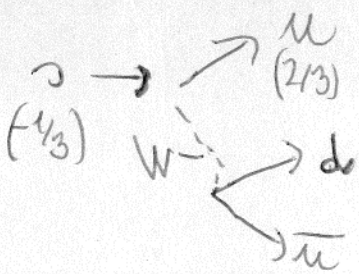
hanem $\frac{1}{\sqrt{2}}(u\bar{u} + d\bar{d})$, π^0 keverék

d)

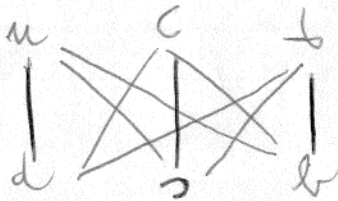
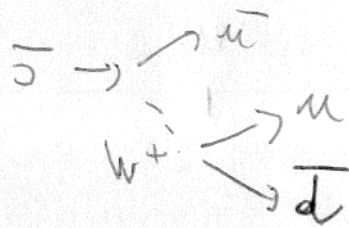
$$\left. \begin{array}{l} d-d \\ \bar{s} \rightarrow \bar{u} \end{array} \right\} \pi^-$$

$$\left. \begin{array}{l} \bar{u} \\ d \end{array} \right\} \pi^+$$

4) A ritkaság megváltozása:



gyenge kölcsönhatás: a kvark íze !!
megváltozik



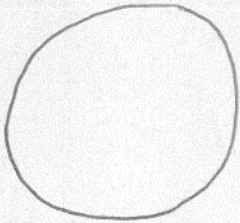
$s \rightarrow d$ nem valószínű !! (de lehet)

Hadronok

1) hadron: kvarkokból áll

mesonok

barionok:



• nukleonok: n, p

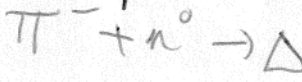
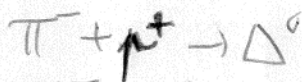
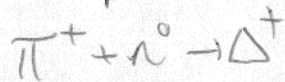
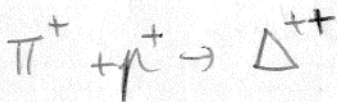
• hiperonok: Σ, Ξ (van utka kvark is)
 Ω^{\uparrow} (ez is hip.)

• rezonanciák: Δ, Ξ^*, \dots

↓
 nagyon gyorsan elbomlanak

2) Rezonanciák előállításai:

a) pl. $\pi^+ + p$ ütközés hatáskeresztmetszete



} közel azonos tömegűek



b) mikrosz. gerjesztett állapotai

• p^+ spinje: $\uparrow\downarrow, \uparrow$ $\frac{1}{2} \Rightarrow$

• gerjesztett áll.: $\uparrow\uparrow\uparrow$ $\frac{3}{2} \Rightarrow$

van még egy kvantumszám
 \uparrow (spin)

nem lehet \downarrow kvantumszám

\uparrow azaz (énél a Pauli)

$T_z = 3/2 \quad 1/2 \quad -1/2 \quad -3/2$ → sima spin: $3/2$

Δ -mez.: $\uparrow\uparrow\uparrow$ $\uparrow\uparrow\uparrow$ $\uparrow\uparrow\uparrow$ $\uparrow\uparrow\uparrow$ → isospin: $3/2$ ~~6~~ ~~szint~~ ~~bill~~
 uuu uud udd ddd -45

A kvarkok közötti kölcsönhatások

1) új kvantumszám igénye:

$$\Sigma^- = sss, \Delta^{++} = uuu, \Delta^- = ddd$$

→ 3 azonos kvark (kisekkeltek alapján)

→ pályapendület 0

→ szim. hullámf. -ek

↳ Pauli-elv sértése: kisekkelésre antiszim. nak kell lennie

⇒ ~~Pauli-elv~~ új kvantumszám

2) Szín:

3 értéke kell legyen, hogy a 3 összege 0!

↓
pl. "szín"
piros, kék, zöld

↑
hisz a Σ^- is egyből kisekkeltek
nél nem látnánk újabb
kvantumszámot (tal. -s)

összejük lehet = színtelen

↑
SU(3) csoport

3) A kvarkok szín-kvantumszáma:



additív színek



minden
antiszimmetrikus
pl. piros és kék

az antiszimmetrikusnak
minden töltése az
eredeti ellentéte ↓

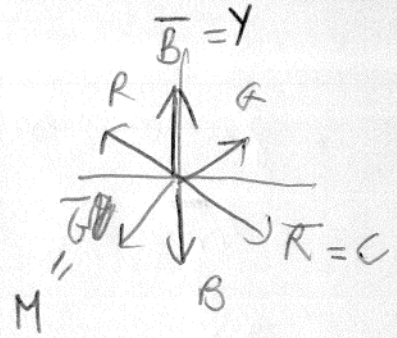
↓
 "nive" is "antivon"

4) A mikrosz. rész. részlete:

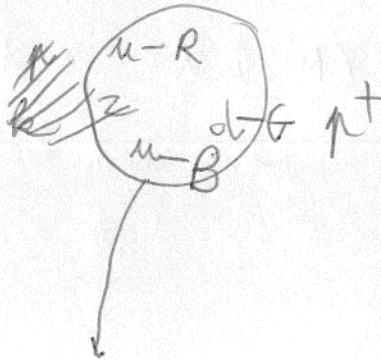
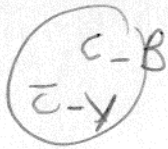
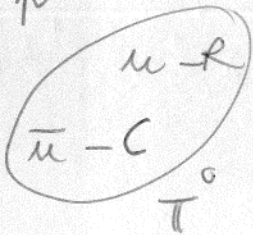
az eddigi rész. részletek!

mesonok

barionok



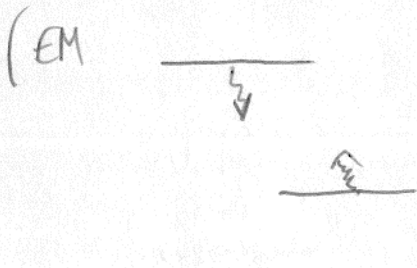
pl.



igazából
 folyamatosan változik a
 színük

azt, hogy melyik kvarkhoz
 milyen színt rendelünk,
 mind!

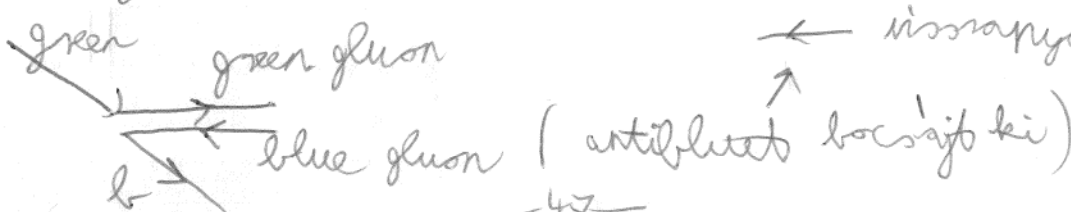
5) Kölcsönhatások:



a töltéssel rendelkező rész. ki tudnak
 csatlakozni elektromos rész. b.
 (a fotónak)

(kölcsönhatást köv. rész. részletek = bozonok)

Sínek.h: gluonokat tudnak csatlakozni



A szín megmarad \rightarrow ez csak úgy lehet, ha kibocsát egy színes gluont

a gluonok színeit

\bar{r}
 \bar{g}
 \bar{b}



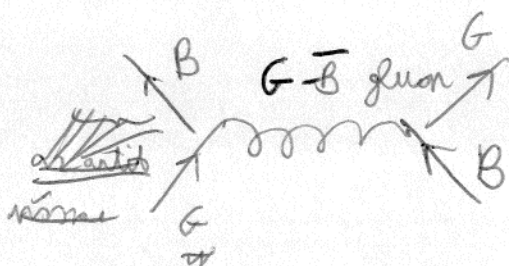
EM-k.h.: a foton NEM töltött

a foton nem bocsát ki fotont, nem vesz részt a k.h.-ban, csak hadrolékkal

a gluon színe:

\Downarrow is kölcsönhat tud hatni!!!

\rightarrow ezért rövid az erős k.h. hatótávolsága



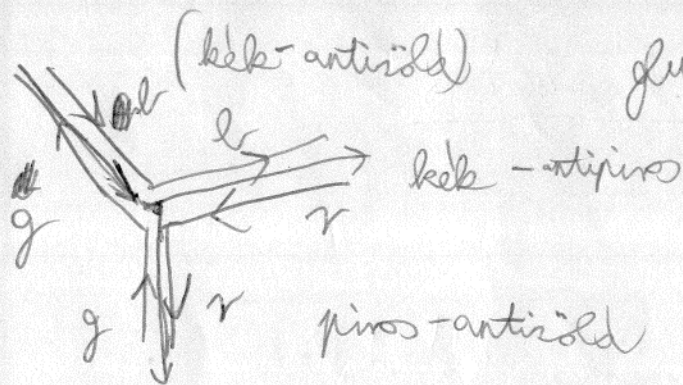
színtöltésű részecskék = részecskék

R G B es nem lehet
 \bar{r}
 \bar{g}
 \bar{b}

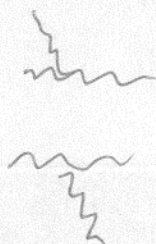
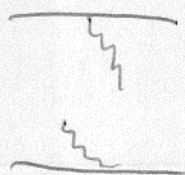
\Rightarrow 8 különféle "alapszín" (azek lineáris komb. -ja)

DE pl. $\frac{1}{\sqrt{3}}(r\bar{r} + g\bar{g} + b\bar{b})$ ilyen gluon nincs!!

\downarrow semleges \rightarrow hosszú távú k.h. is lenne



gluon gluont bocsát ki



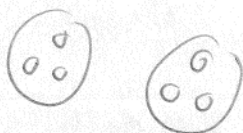
gluon nyel el gluont

gluon bocsát ki -||-

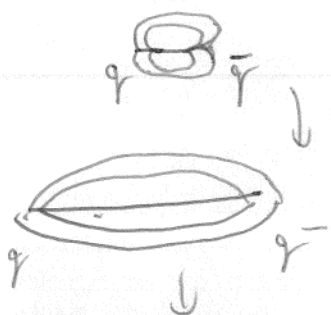
6) Megerős a kvarkok között:

~~a kvarkok~~ a nukleonok részecskéik, de létezik másodlagos köze ^{szilárd} (mint molekulákban a dipól-dipól k.h., vagy Van der Waals)

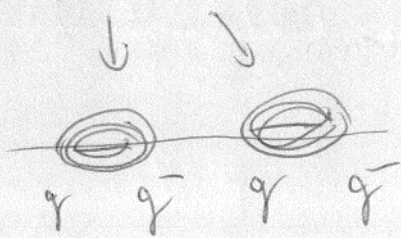
- erős k.h. = gluonok
- megerős = másodlagos erős k.h. (mesonok)
pl. π^+



7) Miert nincs szabad kvark?



ha nyújtjuk, annyival megnö a potenciál, hogy létrejön egy új kvark-antikvark pár



kvarkvezárok

pl. Pionok kétféle komikus szándéklar

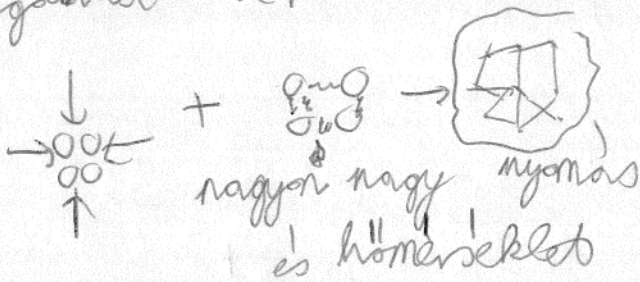
$\pi^+ \rightarrow \pi^+$ meson szakad ki belőle
 \downarrow
 π^+

malad kvark nincs!!

DE lehet: ~~kvark~~

8) kvarkanyag (kvark-gluon plasma)

"megoldad" a π^+ és a π^0



- az univerzum is ilyen kvark-gluon plazmából állt
- neutron csillag: n-ekből áll (magyarok tartják össze)
- kvarkcsillag: kvark-gluon plazma (és k.h. tartja össze)

• gluonok színes rendelék → mindig szín és
antiszín van

• egy k.h. lány 2 kvark közt létrejön

1) Miből áll a p^+ ?

3 kvark, 3 szín \rightarrow
(u, d, s) azaz nem igaz

↓
gluon kölcsönhatás

↓
kvark-antikvark párosítás
keletkezik
gluon gluon kölcsönhatás ki

(de ezek szín
nem ~~feltétel~~ lesz
szín-antiszín, mert a gluonok is szín van)

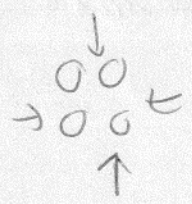
↓
sok ~~szín~~ kvark is lehet egyszerre 1 protonban

↓
de ezek szín-antiszín párokban rendelkeznek
csomópont energiája: 5-10 MeV netto
(k.h. nélkül) 3-szín

$$m_{p^+} c^2 = 938 \text{ MeV}$$

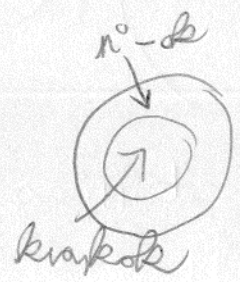
3) kvarkanyag:

"feloldódik" a kvarkok részecskéjé



pl. 300 GeV - ~~atommag~~ atommag-atommag ütközés

nagy neutrosillag (?) → "kvarkcsillag"



pörgés alapján meg lehetne különböztetni (fótt tojás - lágy tojás)

Elemi részecskék

1) Elektron - p⁺ részecske:

$E = 100 \text{ MeV}$ $\lambda \approx 20 \text{ fm}$ → atommag str. - b lehet
 $E = 10 \text{ GeV}$ $\lambda \approx 0,02 \text{ fm}$ → kvarkok struktúráját is le lehet

2) LEP:

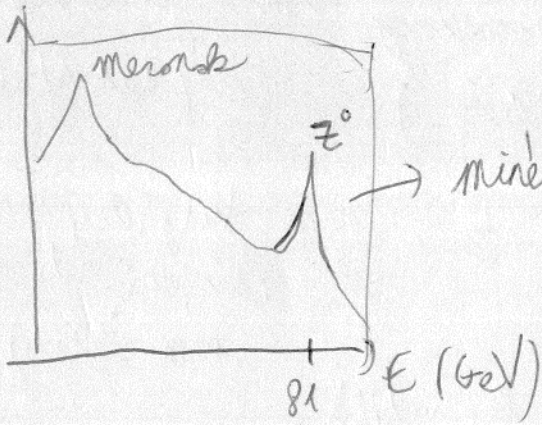
(large electron-positron collider)

$e^- + e^-$ ütk → nagy energiával

↓
 ebből lett az
 LHC → p⁺, p⁻ ütk.

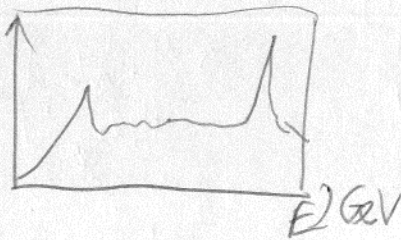
nehézsúly kvarkok
 keletkezés

$e^- + e^+$ ütk.



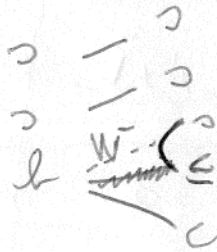
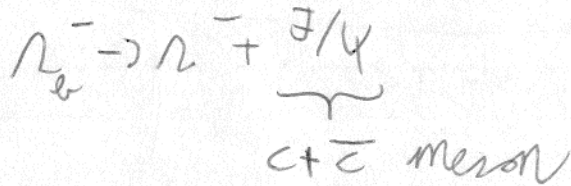
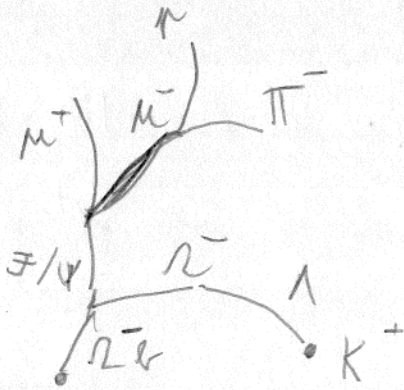
→ mivel nagyobb a felbontási képesség,
annál kisebb az élettartam

e^-



→ nagyobb krosszekció, $c-\bar{c}$, $b-\bar{b}$, $s-\bar{s}$
keletkezés

3) Heves krosszekció:



gyenge k.a.

↑

W^-, W^+, Z^0

Standard modell:

$(u, \bar{u}, d, \bar{d}, e, \bar{e}) \rightarrow$ ~~elektron~~ iszonylag sokdíg elnevezés (lehetetlen)

$t, \bar{t} \rightarrow$ ez nagyon hamar elbomlik

	I.	II.	III.
kvarkok	u	d	s
leptonok	ν_e	ν_μ	ν_τ
	e^-	μ^-	τ^-

család \rightarrow pontosan nem tudjuk, van-e többlet (van, aki azt mondja nem lehet)

γ
g
Z^0
W

ez követhető ismeretek

gyenge k.h. tudja a kvarkok **is** megváltoztatni

\rightarrow gyenge k.h.-ban mindig megváltozik az is tömeg ~~érték~~

\rightarrow u, d, s, c, b, t csak az u, d \rightarrow gluonok \sim (k.h.) sine miatt van véges élet

γ, g (gluon) : 0 nyugalmi tömeg

Z^0, W^+, W^- : nem 0 $-11-$

gluonban nincsnek kvarkok!

(nem kvark-antikvark pár) hanem szín-antiszín pár

	követhető r.	hatótar.	m_0 , körv. r.
EM	γ	∞	0
E	gluon	∞	0
GY	Z^0, W^+, W^-	$< 10^{-15}$ m	81 MeV/c ² 30 MeV/c ²
GR (grav.)	gravitron?		

hatótarasági r. miatt

$\rightarrow \bigcirc \xrightarrow{m_0 c^2} \bigcirc$

$\tau = \frac{h}{m_0 c^2}$ ideig

élet időtartama a vákuumból emiatt energiát

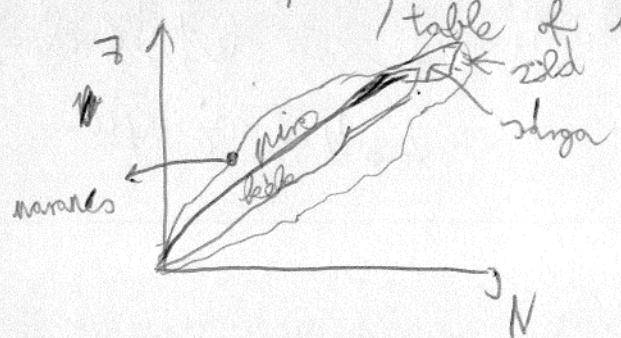
$d = v \tau = \frac{h v}{m_0 c^2} = \frac{h v}{m_0 c^2}$

véges \leftrightarrow véges \leftrightarrow energia

Az atommagok alapulajdonosságai

- 1) atommag: p^+ -ok és n^0 -ok
- Z: p^+ -ok száma (rendszám)
 - N: n^0 -ok -ll-
 - A: tömegszám $A = Z + N$

izotóptábla (chart of nuclides)



→ ha túl sok n^0 , kevés p^+ , vagy fordítva nem stabil (nem kötött)

izotóp: azonos p^+ , eltérő n^0 számú atomok

(elészor ^{20}Ne , ^{22}Ne + kedveltek fel)

- kék: stabil
- piros: β^+ -bomlás
- kék: β^- -bomlás

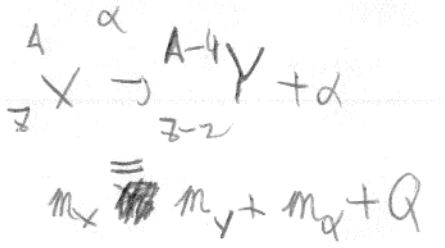
narancssárga: p^+ kibocsátás (1 db)

sárga: α -bomlás

zöld: spontán hasadás $A \rightarrow B + C + n^0$
(fisszió) \downarrow
gyj. \downarrow
de csak gyj. ill. hő $\leftarrow n^0$ kibocsátás \rightarrow $B + \gamma$

2) atommagok spontán átalakulásai

- $\alpha \rightarrow {}^4\text{He}$ atommag $\equiv \alpha$
- $\beta \rightarrow e^-$ vagy e^+ + neutrínó ($\bar{\nu}_e, \nu_e$)
- $\gamma \rightarrow Z, N$ nem változik, EM
- (RTG sug. atomok, γ - sug. \rightarrow atommag)



az össztömeg csökken, de az energiában is

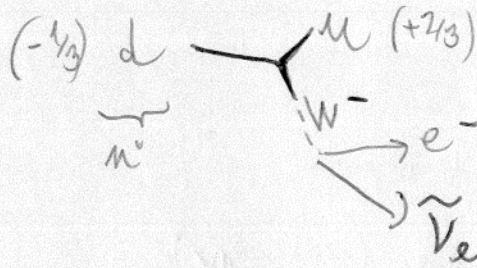
β^- -bomlás

gyenge kölcs. \rightarrow (kvark-kepek):

$$n \rightarrow p^+ + e^- + \bar{\nu}_e$$

leptonok: +1 -1

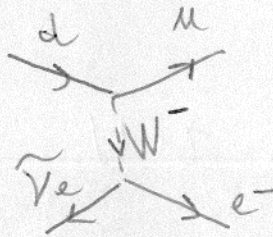
$$\begin{array}{c} u \quad - \quad u \\ d \quad - \quad d \end{array}$$



β^+ -bomlás

$$p \rightarrow n + e^+ + \nu_e$$

leptonok: -1 +1



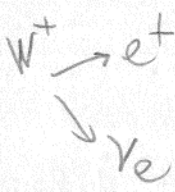
az erős mindig az idő telésével fokozatosan megszűnik

csak atommagon belül $n \rightarrow p^+$ alakul át!

$$\begin{array}{c} u^+ \quad - \quad u^+ \\ d \quad - \quad d \end{array}$$

$$d \quad - \quad d$$

$$u \quad - \quad d$$



leptonikus bomlás

$$\left(\frac{1}{3}\right) \rightarrow \begin{array}{c} u \left(\frac{2}{3}\right) \\ W^- \\ \bar{u} \\ d \end{array}$$

hadronikus bomlás

elemi rész. el tud bomlani! (következő részre elbomolhat, vagy nem köv. rész. egy következő, és egy nem köv.-re)

barionszám megmaradás

kv.: a kvarkok ~~szám~~ száma nem változik

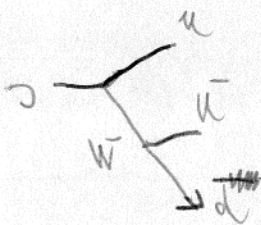
($b - \bar{b} - c - \bar{c} - d - \bar{d} - u$ egymáshoz ^{|| nem bomlott} ~~átalakulhatnak~~, ^{↑ tovább} ilyenkor a barionszám nem változik.) (u a legkisebb tömegű)

nukleonok szintje: $p, n \rightarrow 1$ barionszám \rightarrow egymáshoz ^{|| nem bomlott} ~~átalakulhatnak~~

(p^+ a legk. tömegű \rightarrow a tovább nem bom.)

atommagok szintje:

• tömegszám megmaradás = barionok megmaradása



magas energiánál ^{|| nem bomlott} ~~átalakulhat~~

mesonok barionszáma 0

$$b - \bar{b} - c - \bar{c} - d - \bar{d} - u \quad +\frac{1}{3}$$

$$\bar{b} - \bar{b} - \bar{c} - \bar{c} - \bar{d} - \bar{d} - \bar{u} \quad -\frac{1}{3}$$

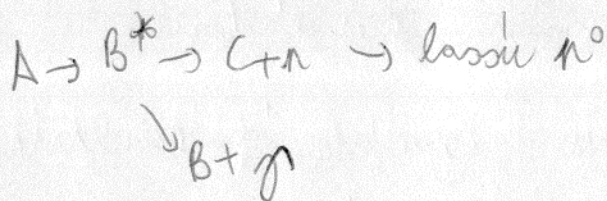
a bomlások átfordításából:

$$\begin{aligned} e^+ + n^0 &\rightarrow p + \bar{\nu}_e & \beta^- \\ e^- + p^+ &\rightarrow n^0 + \nu_e & \beta^+ \end{aligned}$$

$$\begin{aligned} \nu_e + n &\rightarrow p + e^- & \beta^- \\ \bar{\nu}_e + p &\rightarrow n + e^+ & \beta^+ \end{aligned}$$

} ezek valóban folyamatok!

→ 57. old: n^0 kibocsátás: ha gerjesztett állapot keletkezik, lehetséges n^0 kibocs.



b
pl. atomreaktorokban

7. óra

1) β -bomlás:

- atommag szintű: ${}^3_1\text{T} \rightarrow {}^3_2\text{He}$
- nukleon szintű: $n^0 \rightarrow p^+$, vagy $p^+ \rightarrow n^0$
- kvark szintű: $d \rightarrow u$, $u \rightarrow d$

} ez ugyanaz a foly., csak más szinten

Ekkor az új kvark mellett:

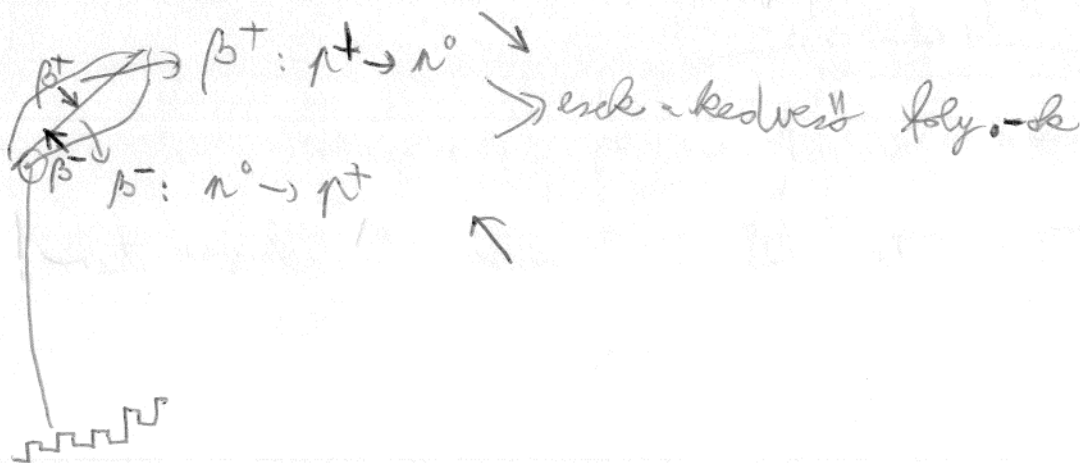
W^- keletkezik $\rightarrow \bar{\nu}, e^-$ - á bomlik

\downarrow \bar{u}, d - ré bomlik

2) Isotóptérkép:



fehér vonal: "stabilitás völgye"



cspikes sélle: a páros számú n^0 stabilabb, mint

\downarrow a páratlan
- 50 -

↓
 a magyarázat páros számú jobbra ívelkednek

magnitikaiban:

anti-kund szabály(!) van → a ~~2~~ -ok és p^+ -ok azonos
 spinel vezetnek beállni

↳ azonos spin kisél

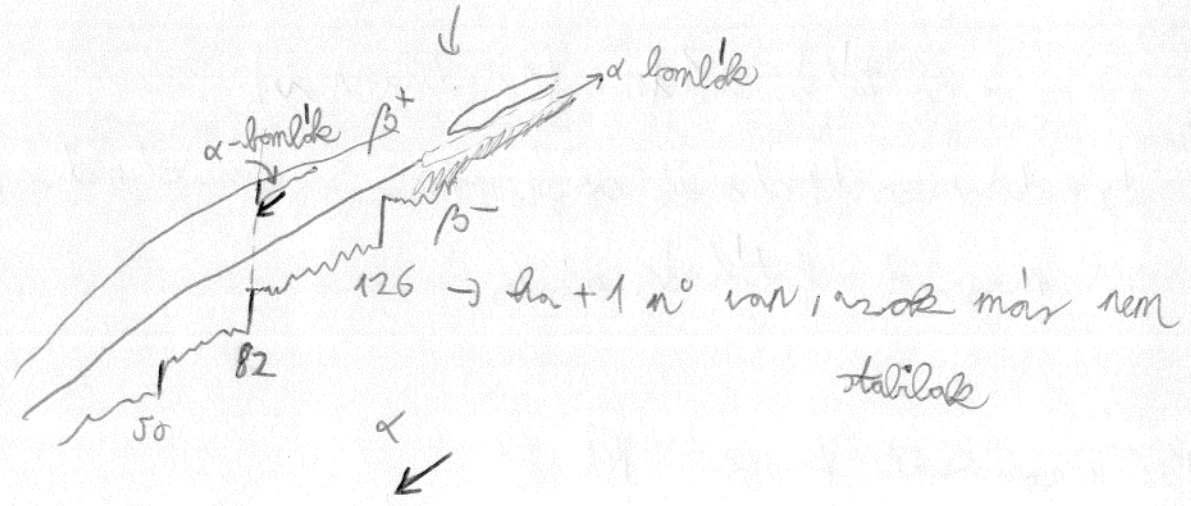
azonos p^+ és n^0 számokig stabil:

${}^4_2\text{He}$, ${}^{12}_6\text{C}$, ${}^{14}_7\text{N}$, ${}^{16}_8\text{O}$, ${}^{28}_{14}\text{Si}$, ...

DE a stabilitás ideje jobbra hanyarodik

↑
 a p^+ -ok tartózkodása egyre jelentősebbé
 válik → a n^0 -ok kedvezőbbek a p^+ -oknál

"súlyok, makadársok, magikus vonalak"



a) Math-számítás: relativisztikus Rutherford-számítás

$f(q) \rightarrow$ a Math-számítás valós értéke:

$$\frac{d\sigma}{d\Omega}(\theta) = \left. \frac{d\sigma}{d\Omega}(\theta) \right|_{\text{Math}} \cdot f(q)$$

$$\lambda = \frac{h}{p} = \frac{hc}{pc} = \frac{hc}{\sqrt{E^2 - m_0^2 c^4}} \rightarrow E^2 - m_0^2 c^4 = \left(\frac{hc}{\lambda}\right)^2$$

$$E^2 = p^2 c^2 + m_0^2 c^4$$

$$pc = \sqrt{E^2 - m_0^2 c^4}$$

$$E = \sqrt{\left(\frac{hc}{\lambda}\right)^2 + m_0^2 c^4}$$

↓

$$T_{\text{morg}} = \sqrt{\left(\frac{hc}{\lambda}\right)^2 + m_0^2 c^4} - m_0 c^2$$

elektronra
511 keV

$$= \sqrt{\left(\frac{197 \text{ MeV} \cdot \text{fm}}{1 \text{ fm}}\right)^2 + \left(\frac{1}{2} \text{ MeV}\right)^2} - \frac{1}{2} \text{ MeV}$$

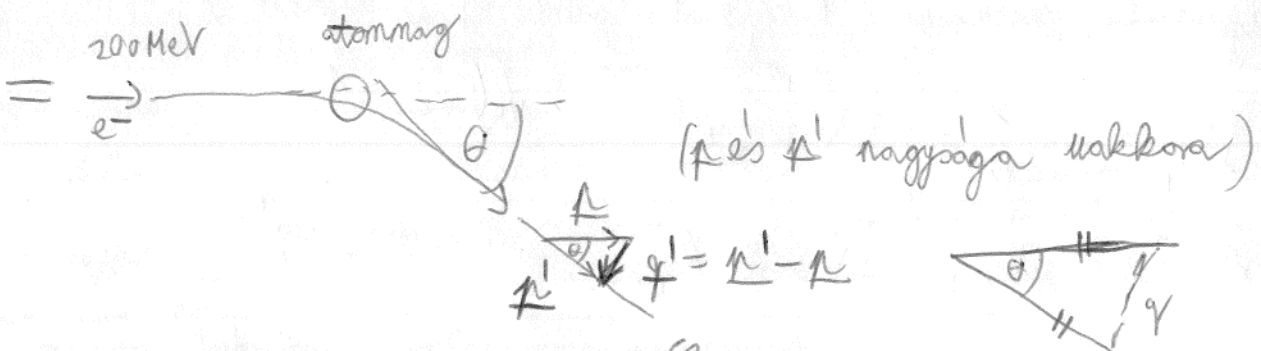
elnyagadjuk

$\lambda \leq r_{\text{atommag}}$
↓
ezzel lehet jól letapogtatni az atom alakját

$$\approx 200 \text{ MeV}$$

↓

$U = 200 \text{ MV} \rightarrow$ a gyorsítónak ekkora fesz. kell



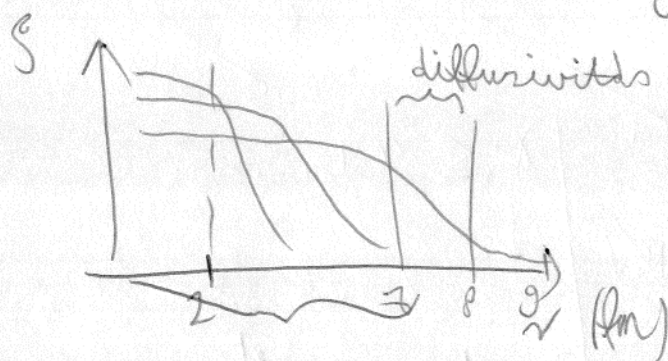
$$f = \rho \sin \frac{\theta}{2}$$

$$q = 2 \underbrace{\frac{m_0 v}{\sqrt{1 - v^2/c^2}}}_{\uparrow \text{rel}} \cdot \sin \frac{\theta}{2}$$

$F(q) \rightarrow \rho(\vec{r})$: Fourier transformálása
(beábrázolható)

\Rightarrow a kísérlet a töltéssűrűségeloszlást adja !!!

ez csak a r^+ -ra érzékeny



diffuzivitás \rightarrow diffúz az atommag

felülete: kicsit "kilógnak a töltések"

az atommag

belsője \sim állandó sűrűségű

Ekvivalens mag sugar (def.)

- egyenletes sűrűségű R sugarú gömb (a létszó)

ez már normálra van $\left(\int \rho dV = 1 \right)$

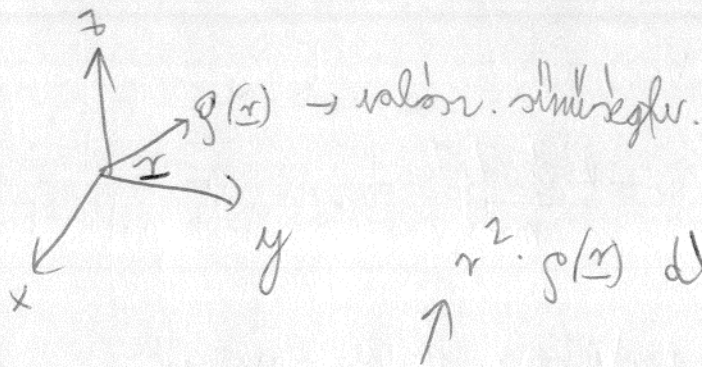
$$\int \int \int r^2 \rho(r) dV = \frac{3}{5} R^2$$

így ma definiálva

$$\langle r^2 \rangle = \int \int \int r^2 \rho(r) dV = \frac{3}{5} R^2 \quad \rightarrow \text{ekv. mag sugar}$$

azon egyenletes sűrűs. gömb sugarát, melynek

$\langle r^2 \rangle$ -ra azonos az adott sűrűségeloszlás $\langle r^2 \rangle$ -vel



! egy ~~van~~ definícióval, r^2 -es átlagolásal

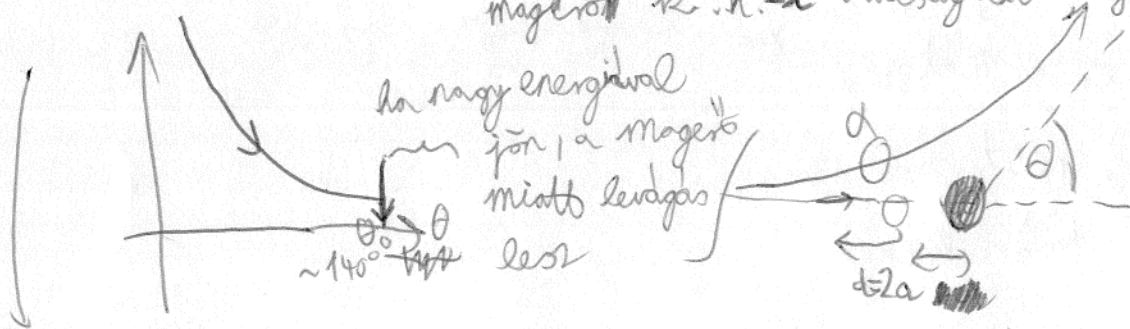
kör. -ek:

- $\rho = 0$ a mag körülről, és ez az áll. a stabil magoknál meg is igazul
- diff. seb. van: $R_{Ed} = 1,2 \text{ fm A}^{1/3}$
- Woods-Saxon - alak (az atommag sűrűségeloszlása)

$$\rho(r) = \frac{\rho_0}{1 + e^{\frac{r-R}{a}}}$$

b) anomális Rutherford szórási:

20 MeV-nál nagyobb En. kell, hogy összejöjjenek, vagy a magon k.h.-i távolságban legyen



(ez még klasszikusan kezelhető)

$$E = \frac{ke^2 \cdot Z \cdot e^2}{r}$$

$$= \frac{1,44 \text{ MeV} \cdot \text{fm} \cdot 14}{8 \text{ fm}} \approx 30 \text{ MeV}$$

Mekkora energiával kell megközelíteni,

hogy $2a \approx 8 \text{ fm}$ -re megközelítse

$$(m_0 c^2)_\alpha \approx 4000 \text{ MeV}$$

• legkisebb megköt. kb: a

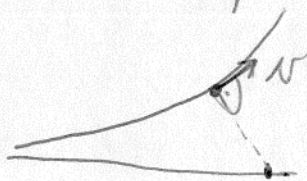
$$\frac{1}{2} m v^2 = \frac{k e^2 Z_1 Z_2}{2a} \rightarrow a = \frac{k e^2 Z_1 Z_2}{m v^2}$$

• legk. megközelítéskor perdület: $m \cdot u r = m b v$

$$u = \frac{b-v}{r}$$

energia

$$\tan \frac{\theta}{2} = \frac{a}{b}$$



∴ legk. megköt. $\theta = 180^\circ$ szög

$$r = a \left(1 + \frac{1}{\sin(\theta/2)} \right)$$

legkisebb

megköt. távolsága

eredmény: $R_{EQ} \approx a \left(1 + \frac{1}{\sin(\theta/2)} \right)$
 nem lecsökkentük

$R_{EQ} = 1.4 \text{ km} \cdot A^{1/3} \Leftrightarrow$ más eredmény ad, mint a

↓
 a a módszer \Leftrightarrow nagyenergiás sűrűs

a neutronok
 is érekeny

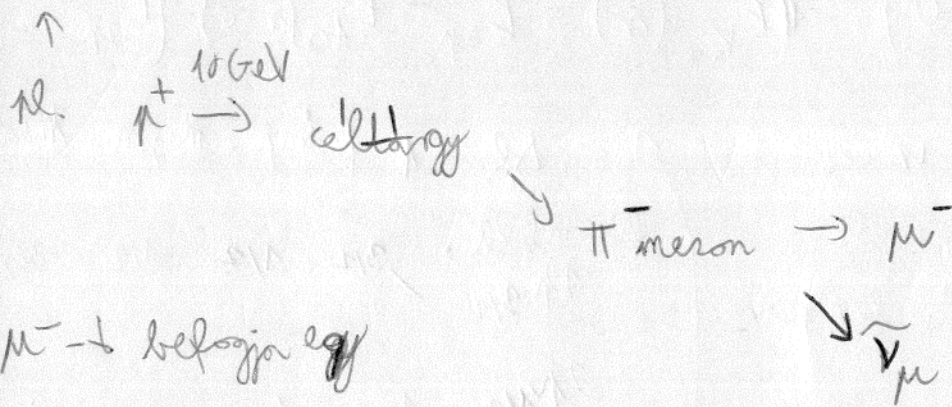
⇓

neutronskin: az atommag külsején van

↓
 nagy atommagoknál mérhető ki, ahol már

-66- ekkor a stabilit. időz

c) Műon-atomok kar. RTG sugárzás:



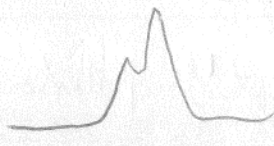
$\mu^- \rightarrow$ befogja egy

μ^+

karakt. RTG sug. (nagy seb.)

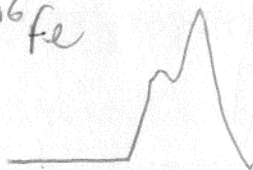
$K_\alpha \rightarrow$ erős mérés (legnagyobb)

^{58}Fe



finomlelt. miatt
felhaszn. a K_α csúcs

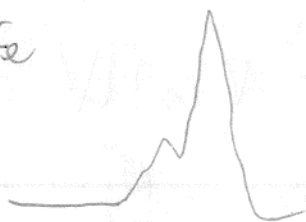
^{56}Fe



nó a K_α sug.
nagyága kisebb
isotópoknál

↑
más a sugár

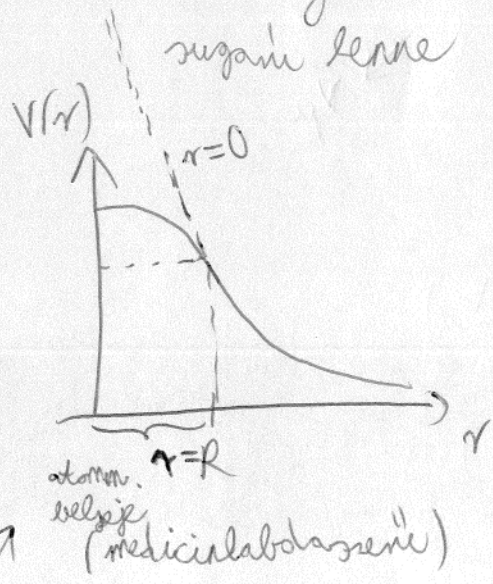
^{54}Fe



K_α energiája

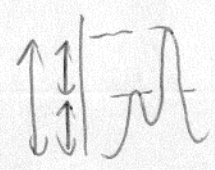
$$E_{K_\alpha}(r=0) - E_{K_\alpha}(r) = E_{2p} - E_{1s}(r=0) - (E_{2p} - E_{1s}(r))$$

ha ugyanaz az atommag 0 sugár lenne



$\Delta l = 1$ (imp. megm. miatt)

finomlelt. $2p_{3/2}$ $3/2$ $1/2$ $-1/2$ $-3/2$ 4 energiásított
 $2p_{1/2}$ $1/2$ $-1/2$ 2 energiásított

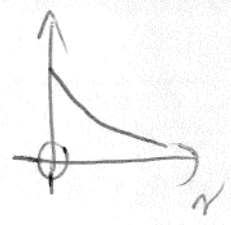


↓
 első 2-szer akkora
 a $2p_{3/2}$ állapot
 csúcsa (2-szer nagy
 valósz.)

p állapot energiája nem függ a magtól, mert $\psi_{1s}(r=0) = 0$

$$E_{K_\alpha}(r=0) - E_{K_\alpha}(r) = E_{1s}(r) - E_{1s}(r=0) = \psi_{1s}(r) = N \cdot e^{-\frac{r}{a_0}}$$

(a_0 : Bohr-sugár)



r^2 -kés
 $E = \int \rho(r) V(r) dV =$

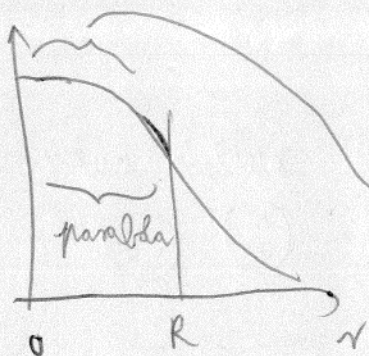
$\hookrightarrow e^-$ -k sűrűségeloszlása $|\psi_{1s}(r)|^2 = N^2 e^{-\frac{2r}{a_0}} = \rho(r)$

$$\textcircled{*} = \int_0^\infty N^2 e^{-\frac{2r}{a_0}} V_R(r) dV - \int_0^\infty N^2 e^{-\frac{2r}{a_0}} V_0(r) dV =$$

$$= \int_0^\infty N^2 e^{-\frac{2r}{a_0}} [V_R(r) - V_0(r)] dV = \int_0^\infty \int_0^\pi \int_0^{2\pi} N^2 e^{-\frac{2r}{a_0}} [V_R(r) - V_0(r)] r^2 \sin\theta dr d\theta d\phi =$$

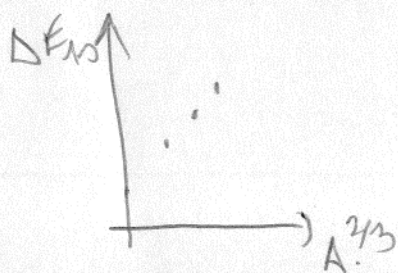
$\int_0^{2\pi} d\phi = 2\pi$ $\int_0^\pi \sin\theta d\theta = 2$ $\int_0^\infty r^2 dr = \frac{1}{3} r^3$

$$= 4\pi N^2 \int_0^R e^{-2r/a_0} \cdot r^2 \cdot |V_R(r)| dr$$



$$\frac{3}{2} \frac{Ze^2}{R} - \frac{Ze^2}{2R} \cdot \frac{r^2}{R^2} = V_R(r)$$

$$E_{1s}(r) - E_{1s}(0) = (\dots) R^2$$



↓
atommagok sugara ~~mag~~ ki lehet számolni

Cseppmodell

$$V \sim A \quad (R \approx A^{1/3}) \quad (\text{a stat. változón})$$

↑
• úgy képzeljük, mintha kis gömbök lennének az atommagban,
melyek sugara állandó

(↳ de ez csak szemléltetés, a kvantum effektus és nem adja vissza)

- "össenyomható" a nukleonok
- magyis "össenyomható" közt

↳ "tandikát" nem vonzza
 (↳ körel "tasít" (?))

lyan, mint a Van der Waals
 az is
 (másképp kék.)

↓
 olyan, mint egy csépp

(DE ez a kvantum effektusok nem adja vissza)

nukleon nukleon



szomszédos, de
 "indukált" "nem" lehet

b) mérés \rightarrow tömegspektrométerrel ~~szeg~~ (semleges töltés)
 \downarrow részecskéket követelmény
 keletkezés γ fotonok

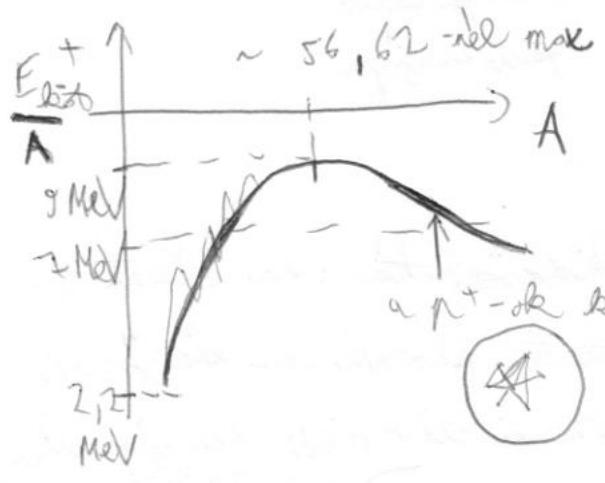
c) tapasztalat (stabil atommagok)

$$E = \frac{E_{köt}}{A} \quad \text{pl. } \frac{{}^3\text{He}}{3} \quad \frac{{}^{12}\text{C}}{12}$$

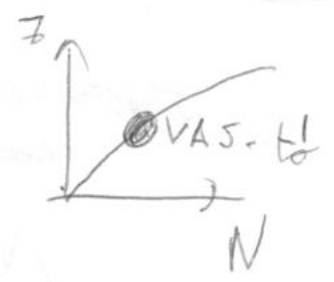
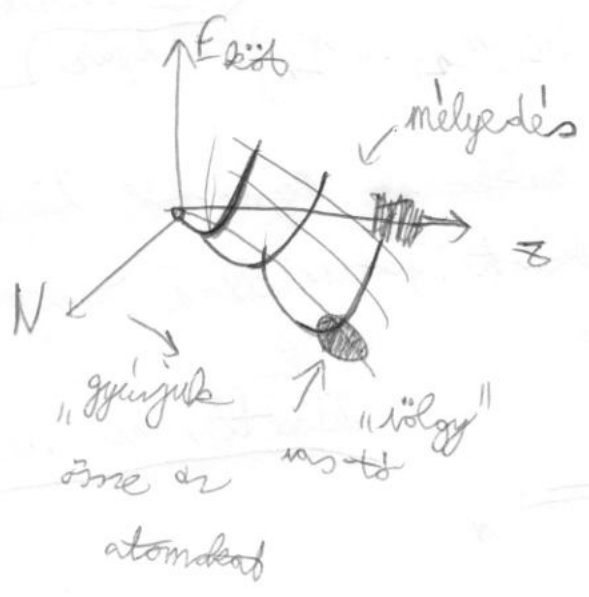
$$\frac{m_{12}\text{C} \cdot c^2}{12} = 1 \text{ AMU} < m_p \cdot c^2$$

($\sim 8\text{MeV}$ a különbség)

$\sim 931,5\text{MeV}$
 a kötésben lévő nukleon "tömeg"



a p^+ -ok közötti taszítás
 lassítja a kötést



(Csoportok: fegyver, Erős-tó,
 "kőves az medve")

instabil nukleonok mellett csillagok

$E_{köt}(Z, A)$ **FFKF**: fél-empirikus, kötési energia formula

$$E_{köt} = -\alpha \cdot A + \beta A^{2/3} + \gamma \frac{Z^2}{A^{1/3}} + \left[\frac{\hbar^2 Z(Z-1)}{4A} \right] + \epsilon (KA)^{3/4}$$

↑ "magas" felületi feszültség
 ↓ nukleonok 12 szomszédja van (átérfogatlan) (koord. szám)
 ↓ $h+1$ -es belterület, annak is 12 szomszédja lesz, de összesen 4 kötetből 2-szer számoltunk

ringótra kvantummechanika helyett parabolizáció
 cséppmodell kv. köre
 $r \sim A^{1/3}$
 $r^2 \sim A^{2/3}$

$$\left(\frac{3}{5} \frac{Z^2}{A} \right); \frac{Z(Z-1)}{r}$$

homogén töltés gömb energiája

parabolizáció: ha eltekintünk a spinről, az előnyösebb
 ↓ Pauli-elv miatt 1 energiastarter csak 2 eltekintés spinű lehet

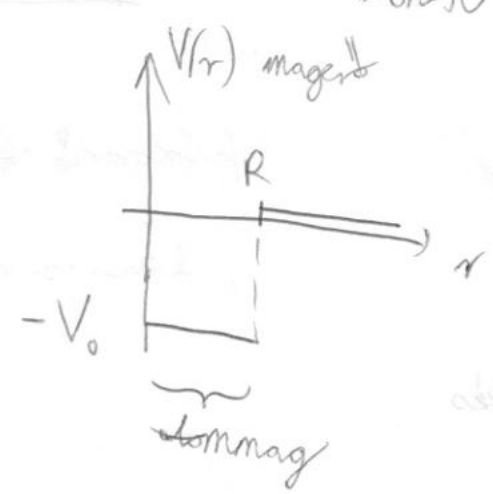


A részecske's hullámfv.

$$\Psi(r_1, r_2, \dots, r_A)$$

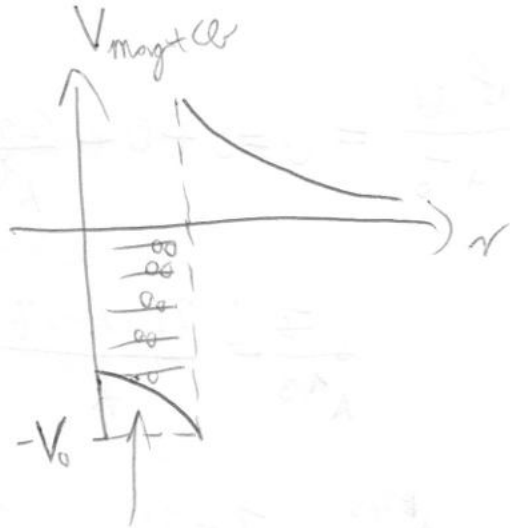
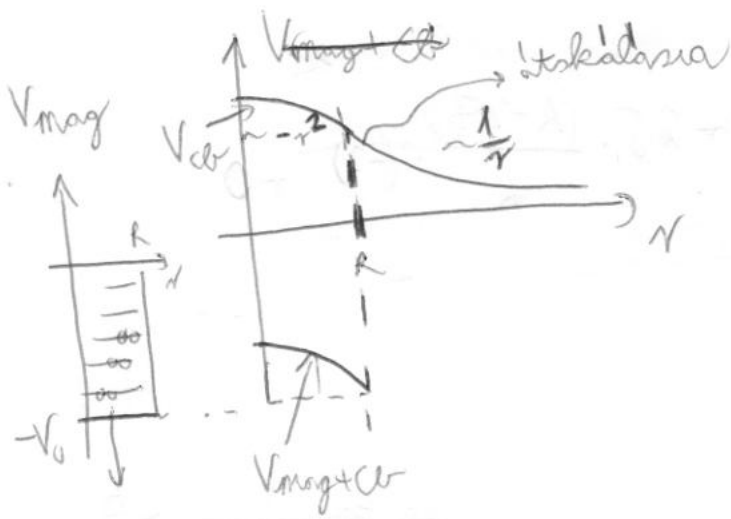
leggyengébb modell

a nukleonok egymással függetlenül konst. potenciállal mozognak



↓ független rész. modell

← ez csak a magasabb mutatója



szimmetria
 spin 3. kompon. különbség

az az döntő, ha ugyanannyi n^o és p⁺ van, mert akkor tudunk rendelni
 $\sim (N-Z) = (A-2Z)$
~~sem mind a kettő~~
~~is egy p⁺~~

a p⁺-ok magasabb energinál indulnak (kisebbség negatív) a C/r. tasítás miatt

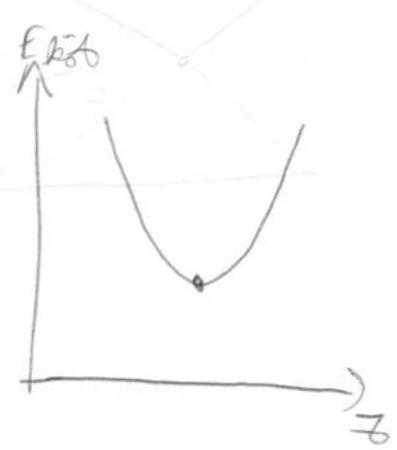
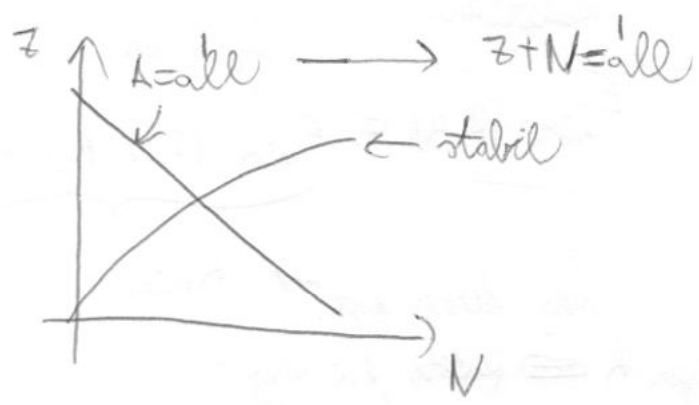
↓
 szimmetriatag

paritásjelváltás:

3/4 → topaszto. kötés

• K=1 páratlan - páratlan atommag (az utolsó n^o és p⁺ is párosítatlan)
 ↓
 gyengíti a kötést

- K=0 → páratlan páros
 ↓
 páros páratlan
- K=-1 páros páros



$$\frac{dE_{\text{pot}}}{dz} = 0 = 0 + 0 + \frac{2\gamma}{A^{1/3}} z + 25 \cdot \frac{(A-2z)}{A} \cdot (-2) + 0$$

$$\frac{2\gamma z}{A^{1/3}} = \frac{25(A-2z)}{A}$$

$$A^{2/3} \cdot \gamma \cdot z = 25A - 45z$$

kis tömegűre $\sim \frac{A}{2}$

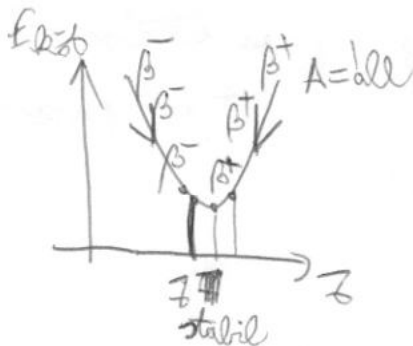
$$z \cdot (\gamma A^{2/3} + 45) = 25A$$

$$z = \frac{25 \cdot A}{(\gamma A^{2/3} + 45)} = \phi(A) = \frac{A}{2} \cdot \frac{45}{(\gamma A^{2/3} + 45)} = \frac{A}{2} \cdot \frac{1}{1 + \frac{\gamma}{45} A^{2/3}}$$

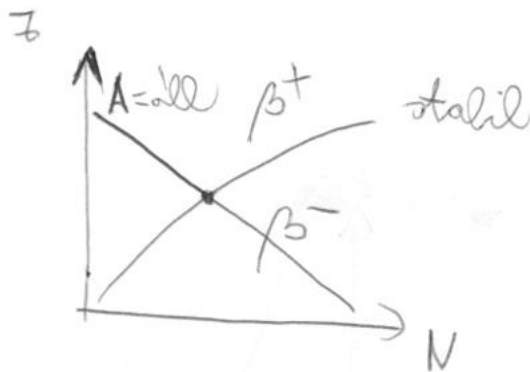
↓

adott A-ra melyik z-nél a legstabilabb

az atommag



rendszerünk
→ a stabilnál nagy ~~terület~~ β^+ , kisebbek β^- bomlók



rendetlenség.

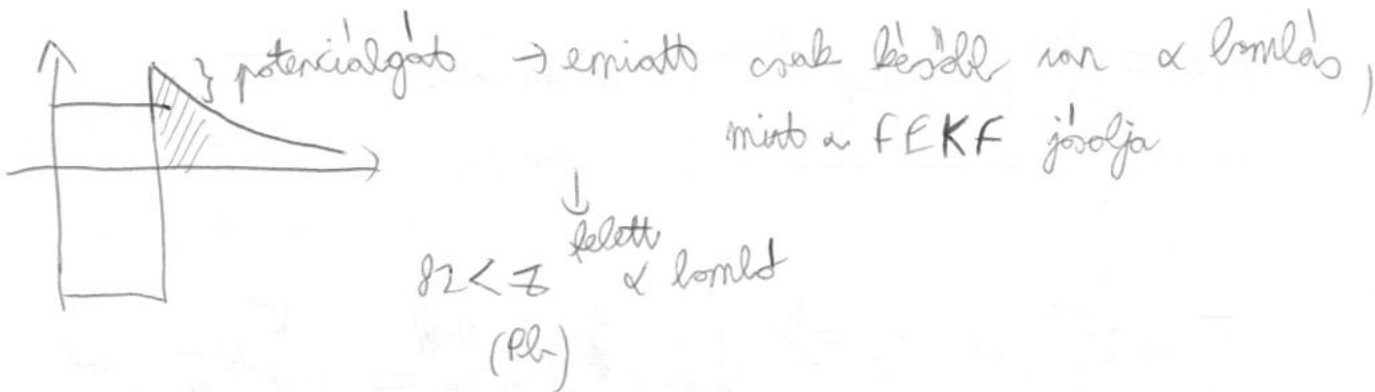
legjobb en.

$$E_{\text{pot}}(z, A) = E_{\text{pot}}(z-2, A-2) + E_{\alpha}$$

meg lehet hat. \rightarrow A_min

milyen A ~~meg~~ lehet „évi meg”

α bomlari

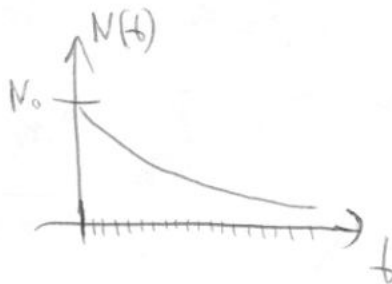


A radioaktivitás statisztikus jellege



Exponenciális bomlástervezés

$$N(t) = N_0 \cdot e^{-\lambda t} \quad (\text{differenciálmegoldás})$$



$$\frac{dN(t)}{dt} = -\lambda N(t)$$

↑
 ugyanannyi idő alatt
 ugyanannyi % bomlik el

- Bomlások függetlenek
- boml. valósz. idővel független! időfüggés λ
- $\lambda = \frac{d(\text{boml. val.})}{d(\text{idő})} \quad | \quad \lambda t = \lambda \cdot t \quad (\text{többször})$

$\lambda = ?$ bomlik el (milyen eloszlás)

$n=0: (1-p_1)^N$

$n=1: p_1 (1-p_1)^{N-1} \cdot N$

$n=2: \binom{N}{2} p_1^2 (1-p_1)^{N-2}$

← melyik elbomlás

$$P(N) = \binom{N}{n} p_1^n (1-p_1)^{N-n}$$

binomialis
eloslas

$$\bar{n} = \sum_{n=1}^N P(n) \cdot n = \sum_{n=1}^N \binom{N}{n} p_1^n (1-p_1)^{N-n} n = p_1 N \sum_{n=1}^N \binom{N-1}{n-1} p_1^{n-1} (1-p_1)^{N-1-(n-1)} = p_1 N \sum_{n=1}^N \binom{N-1}{n-1} p_1^{n-1} (1-p_1)^{N-1-(n-1)} = p_1 N \sum_{k=0}^{N-1} \binom{N-1}{k} p_1^k (1-p_1)^{N-1-k} = p_1 N \cdot 1 = N p_1$$

$$\bar{n} = N p_1$$

$$\sigma_n^2 = \sum_{n=1}^N P(n) \cdot (n - \bar{n})^2 = N p_1 (1-p_1)$$

$$\sigma_n^2 = \bar{n} (1-p_1) \approx \bar{n}$$

$$\sigma_n^2 = \bar{n}$$

Poisson-eloslas

ha p_1 kicsi

$$\frac{\lambda^n \cdot e^{-\lambda}}{n!}$$

$$N, n \rightarrow$$

binomialis \rightarrow Poisson \rightarrow Gauss

$$\lambda t = p_1 \ll 1$$

Stirling

(normalis eloslas)

$$N \gg n$$

$$\bar{n} = N \cdot p_1$$

$$\frac{dN(t)}{dt} = -\bar{n} = -p_1 N(t)$$

$$\frac{N_0}{2} = N_0 \cdot e^{-\lambda t}$$

$$\frac{1}{2} = e^{-\lambda t}$$

$$2 = e^{\lambda t}$$

$$\ln 2 = \lambda t$$

$$\boxed{\frac{\ln 2}{\lambda} = t = T_{1/2}} \quad \text{felvétel}$$

Állago feltétel:

$$\tau = \int_0^{\infty} \lambda(t) \cdot t \, dt = \frac{1}{\tau} \int_0^{\infty} e^{-\lambda t} \cdot t \, dt = \lambda \int_0^{\infty} e^{-\lambda t} t \, dt = \lambda \int_0^{\infty} \frac{d}{d\lambda} e^{-\lambda t} dt = -\lambda \frac{d}{d\lambda} \int_0^{\infty} e^{-\lambda t} dt = -\lambda \frac{d}{d\lambda} \left(\frac{1}{\lambda} \right) = \tau$$

$$\lambda(t) = \frac{1}{\tau} e^{-\lambda t}$$

ahol

$$\frac{d-1}{-1} = \frac{e^{-\lambda \infty} - e^{-0}}{-1} = \left[\frac{e^{-\lambda t}}{-1} \right]_0^{\infty} = \int_0^{\infty} e^{-\lambda t} dt = T$$

normalizált
kötés

$$\tau = -\lambda \cdot \left(-\frac{1}{\lambda^2} \right) = \frac{1}{\lambda} = \tau$$

Sedney-lemék normális időfüggése

$$A \xrightarrow{\lambda_1} L \xrightarrow{\lambda_2} S$$

(anyag) (szén) (szén)
 $\downarrow N_1(t)$ $\downarrow N_2(t)$

$$\frac{dN_1(t)}{dt} = -\lambda_1 N_1(t)$$

$$\frac{dN_2(t)}{dt} = -\lambda_2 N_2(t) + \lambda_1 N_1(t)$$

azonos kezdeti érték, amennyi az anyagból elbomlott

$$\frac{dN_2(t)}{dt} = -\lambda_2 N_2(t) + \lambda_1 N_1(t) e^{-\lambda_1 t}$$

-32- inhomogén

$$N_2(t) = N_{2, \text{hom.}}(t) + N_{2, \text{inh.}}(t)$$

↓

$$A e^{-\lambda_2 t}$$

$$\frac{dN_2(t)}{dt} = -\lambda_2 N_2(t) + \lambda_1 N_{10} e^{-\lambda_1 t}$$

↓

$$N_{2, \text{inhom.}}(t) = B \cdot e^{-\lambda_1 t} \rightarrow -\lambda_1 B e^{-\lambda_1 t} = -\lambda_2 B e^{-\lambda_1 t} + \lambda_1 N_{10} e^{-\lambda_1 t}$$

$$-\lambda_1 B = -\lambda_2 B + \lambda_1 N_{10}$$

$$B(\lambda_2 - \lambda_1) = \lambda_1 N_{10}$$

$$B = \frac{\lambda_1}{\lambda_2 - \lambda_1} N_{10}$$

$$N_2(t) = A \cdot e^{-\lambda_2 t} + \frac{\lambda_1}{\lambda_2 - \lambda_1} N_{10} e^{-\lambda_1 t}$$

besd. felt.

$$A = ? \rightarrow t = 0 \rightarrow N_{20}$$

↓

~~$$N_{20} = 0$$~~

$$N_{20} = 0 \rightarrow -\frac{\lambda_1}{\lambda_2 - \lambda_1} = A$$

9. óra

kerdési felt. (folys.)

$$N_2(0) = N_{20} = A \cdot e^0 + \frac{\lambda_1}{\lambda_2 - \lambda_1} N_{10} e^0$$

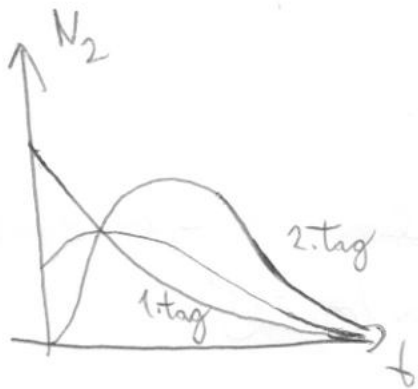
$$A = N_{20} - \frac{\lambda_1}{\lambda_2 - \lambda_1} N_{10}$$

$$N_2(t) = N_{20} \cdot e^{-\lambda_2 t} + \frac{\lambda_1}{\lambda_2 - \lambda_1} \cdot N_{10} \cdot (e^{-\lambda_1 t} - e^{-\lambda_2 t})$$

és a kerdesek
meglevo N_2 -ket

$$A \xrightarrow{\lambda_1} L \xrightarrow{\lambda_2} S$$

→ utoadjék az arányok
komplett számok N_2 -ket,



Radioaktív egyensúly (Radium)

$$\left(\frac{dN_2(t)}{dt} = -\lambda_2 \underbrace{N_2}_{e^{-\lambda_2 t}} + \lambda_1 \underbrace{N_1}_{e^{-\lambda_1 t}} \right)$$

$\rightarrow \frac{dN_2}{dt}$ nem lehet 0, mert

akkor $N_1 \sim N_2$, de az

egyenletben $e^{-\lambda_1 t}$, a másikon

$e^{-\lambda_2 t}, e^{-\lambda_1 t}$ is van)

\downarrow
nem lehet mindig egyenaranyi
 N_2 -ből

~~magyarul az egyensúly~~
~~feltétel, mert~~

~~nem lehet két egyenaranyi~~
~~levegőből, mint~~

\Downarrow

$$R = \frac{A_2(t)}{A_1(t)} \rightarrow \text{konstans}$$

az arányelem és károsító
(~~szókepek~~) arányát változatlan marad)

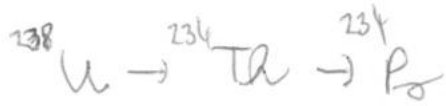
$$R = \frac{\frac{\lambda_2 N_2}{\lambda_2 - \lambda_1} \frac{N_0}{\lambda_1} \cdot (e^{-\lambda_1 t} - e^{-\lambda_2 t})}{\lambda_1 \frac{N_0}{\lambda_1} e^{-\lambda_1 t}} = \frac{\lambda_2}{\lambda_2 - \lambda_1} (1 - e^{\lambda_1 t - \lambda_2 t}) =$$

$$= \frac{\lambda_2}{\lambda_2 - \lambda_1} (1 - e^{(\lambda_1 - \lambda_2)t})$$

ha

$\lambda_2 > \lambda_1$

$T_A > T_L$

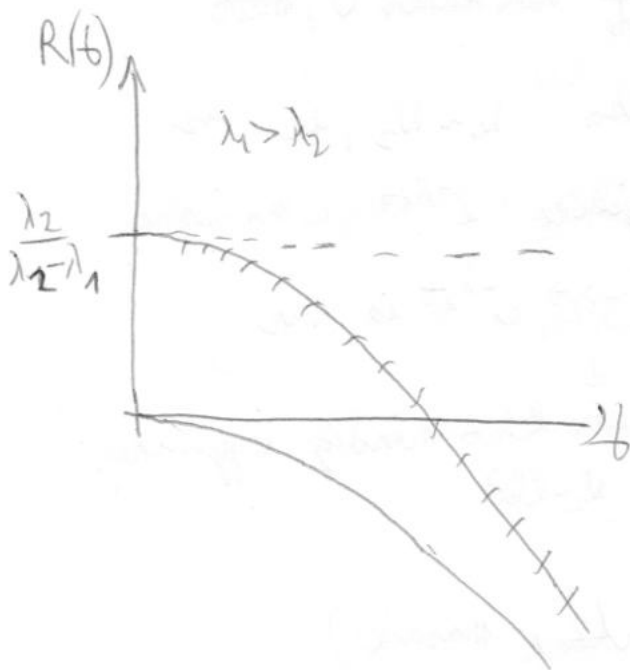
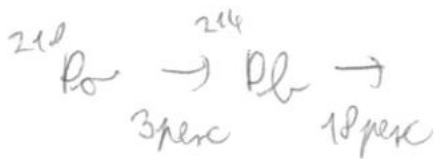


az anyolelem lassabban bomlik \rightarrow van egyensúly

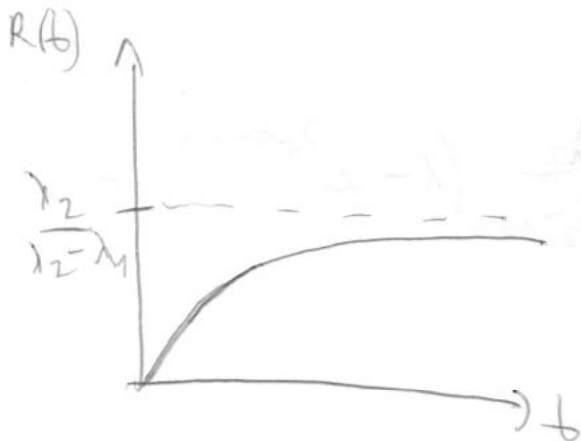
$\lambda_1 > \lambda_2$

$T_A < T_L$

az anyolelem gyorsabban bomlik



\rightarrow nincsen radioaktív egyensúly



\rightarrow van rad. egyensúly

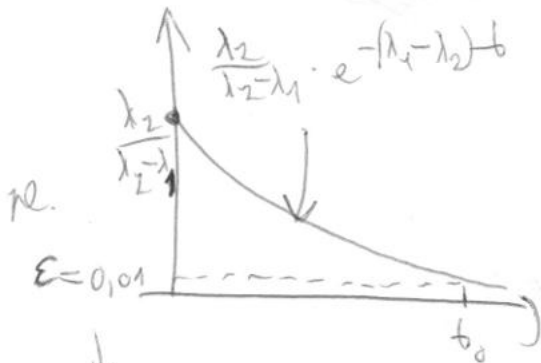
—oda

akkor van mad. egyensuly, ha van t_0 : $t > t_0$

$$|R(t) - K| < \varepsilon$$

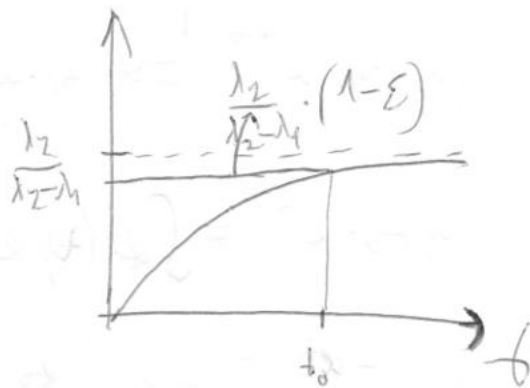
$$(K = \frac{\lambda_2}{\lambda_2 - \lambda_1})$$

$$\frac{\lambda_2}{\lambda_2 - \lambda_1} e^{-(\lambda_2 - \lambda_1)t} < \varepsilon$$



ilyen pontossággal

kerjük megmondani
hogy lekonvergál-e



ε : mérs. bizonytalanság

↓
mérés ^{hibája} hat. meg a pontosságot

Bomlási sokk

$$\dot{N}_1 = -\lambda_1 N_1$$

$$\dot{N}_2 = -\lambda_2 N_2 + A_1$$

$$\dot{N}_3 = -\lambda_3 N_3 + A_2$$

⋮

$$\dot{N}_i = -\lambda_i N_i + A_{i-1}$$

(nem biztos, hogy egyértelműen köv. →

→ van, ami tökéletesen is

elbomolhat

$$N_1(t) = N_{10} e^{-\lambda_1 t}, N_2(t) = N_{20} e^{-\lambda_2 t} + \frac{A_1}{\lambda_2 - \lambda_1} \cdot N_{10} (e^{-\lambda_1 t} - e^{-\lambda_2 t})$$

↓

-84-

$$N_i(t) = \sum_{j=1}^{i-1} a_{ij} e^{-\lambda_j t}$$

$$y'(t) = -\alpha y(t) + f(t) \quad \text{ált. egyenlet}$$

$$e^{-\alpha t} (y'(t) \cdot e^{+\alpha t} + \alpha e^{+\alpha t} y(t)) = f(t) \cdot \cancel{e^{-\alpha t}}$$

$$(y(t) \cdot e^{\alpha t})' = f(t) \cdot e^{\alpha t}$$

$$y(t) \cdot e^{\alpha t} = \int f(t) e^{\alpha t} dt + K$$

$$y(t) = e^{-\alpha t} \int f(t) e^{\alpha t} dt + K e^{-\alpha t}$$

$$y(t) \rightarrow N_i(t)$$

$$\alpha \rightarrow \lambda_i$$

$$f(t) \rightarrow \lambda_{i-1} \cdot N_{i-1}(t) = \sum_{j=1}^{i-1} \lambda_{i-1} \cdot a_{i-1,j} e^{-\lambda_j t}$$

\checkmark megnézzük, hogy ilyen $\sum \rightarrow$ képletet
 ad-e, amilyet szeretnénk (re teljes indukció
 \downarrow
 tén. N_{i-1} - a ilyen
 az alap
 N_1 - e indyone)

$$N_i(t) = e^{-\lambda_i t} \cdot \int \sum_{j=1}^{i-1} \lambda_{i-1} a_{i-1,j} e^{-\lambda_j t} \cdot e^{\lambda_i t} dt + K e^{-\lambda_i t} =$$

$$= \cancel{e^{-\lambda_i t}} e^{-\lambda_i t} \sum_{j=1}^{i-1} \lambda_{i-1} a_{i-1,j} \int e^{(\lambda_i - \lambda_j)t} dt + K \cdot e^{-\lambda_i t} =$$

$$= \cancel{e^{-\lambda_i t}} \cdot \sum_{j=1}^{i-1} \lambda_{i-1} a_{i-1,j} \frac{e^{(\lambda_i - \lambda_j)t}}{\lambda_i - \lambda_j} + K e^{-\lambda_i t}$$

$$N_i(t) = \sum_{j=1}^{i-1} \frac{\lambda_{i-1}}{\lambda_i - \lambda_j} \cdot a_{i-1,j} \cdot e^{-\lambda_j t} + K e^{-\lambda_i t} =$$

$$= \sum_{j=1}^i a_{ij} e^{-\lambda_j t} \quad \checkmark$$

i. elemhez tartozó
keszlet ~~feltétel~~
hat. meg

$$a_{ij} = \frac{\lambda_{i-1}}{\lambda_i - \lambda_j} a_{i-1,j} + K$$

$$K_i = a_{ii}$$

$$a_{i+1,j} = \frac{\lambda_i}{\lambda_{i+1} - \lambda_j} a_{ij} + K e^{-\lambda_j t}$$

~~(K_i = a_{ii})~~

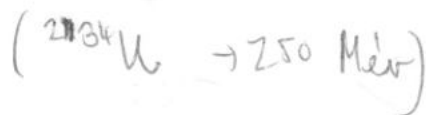
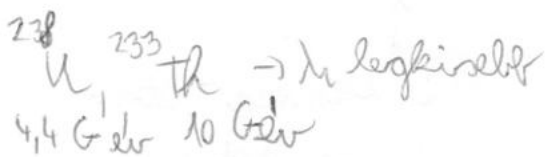
$$a_{31} = \frac{\lambda_2}{\lambda_3 - \lambda_1} \cdot a_{21} = \frac{\lambda_2}{\lambda_3 - \lambda_1} \cdot \frac{\lambda_1}{\lambda_2 - \lambda_1} \cdot a_{11} = \frac{\lambda_2}{\lambda_3 - \lambda_1} \cdot \frac{\lambda_1}{\lambda_2 - \lambda_1} \cdot N_{10}$$

$$a_{ij} = \frac{\prod_{k=1}^{i-1} \lambda_k}{\prod_{k=j}^i (\lambda_{k+1} - \lambda_j)}$$

potencia: ∞ 13⁰⁰

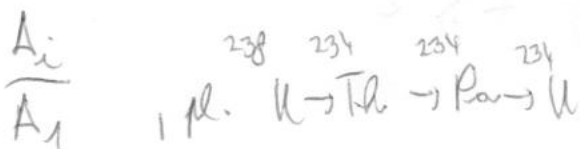
máj. 21, ~~het~~ 11-13⁰⁰

Radioaktív egyensúly radioaktív sorban



(tetszőleges bármelyik egyensúlyban van-e melyik másik elemmel a sorban)

esetnél lehet egyensúly, mert $\forall A_i$ a legnagyobb felbontási időjű



lehetővé válik az is, de spec. az így van

$$\frac{A_i}{A_1} = \frac{\lambda_i \sum_{j=1}^i a_{ij} e^{-\lambda_j t}}{N_0 \lambda_1 e^{-\lambda_1 t}} = \frac{\lambda_i}{N_0 \lambda_1} \sum_{j=1}^i a_{ij} e^{(\lambda_i - \lambda_j)t}$$

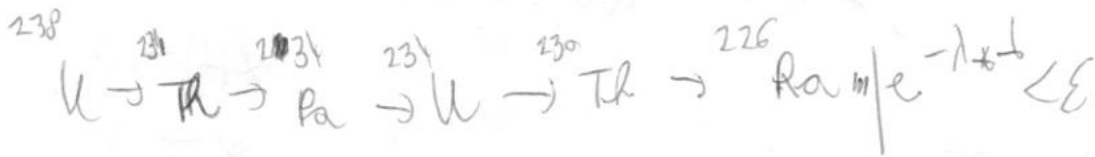
a képlet bonyolult, de $\forall A_i$ -re van mo., ha λ_1 a legnagyobb

ha pl. $\lambda_i \ll \lambda_{j=1}$
 1000 év 10 Gév

\Downarrow
 $e^{-\lambda_i t} < \epsilon$

$\lambda_i = 1 + \dots$ i-ig a 2. legkisebb λ_j ← a leglassabban lecsengő kell lenni → ha ez lecsengő, akkor a többi is

pl.



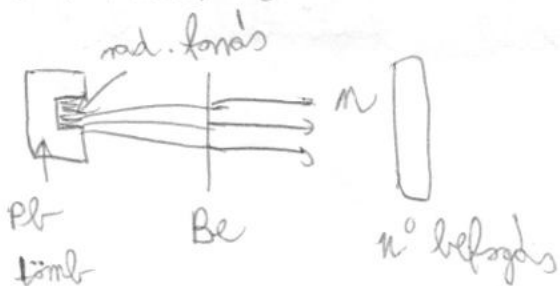
2. legnagyobb feleresi idejének isoton feleresi idejének 5x-e attalib

$$e^{-\lambda t} = 2^{-\frac{t}{T_{1/2}}} = 2^{-5} = \frac{1}{32} \approx 3\%$$

$$t = 5 \cdot T_{1/2}$$

Indukált radioaktivitás

1932: neutron



es most nem lehetne nem

szélesíthető más!



aktív

deszignál

de most ez elhanyagolható, ↑ mert σ kicsi

$$\dot{N}_I = -\lambda N_I + \frac{\sigma_j N_C}{\int \sigma(b) = \text{all}}$$

ha besugárzásnál van n^o, ↑ N_C is változik

hatáskéntmetrés:

$$\dot{N}_r = \sigma_j N_C \quad (\text{def. szerint})$$

σ = all, ha a fluxus nem változik.

$$y(t) = e^{-\alpha t} \cdot \int x(t) e^{+\alpha t} dt + K e^{-\alpha t} \rightarrow y(t) \rightarrow N_I(t)$$

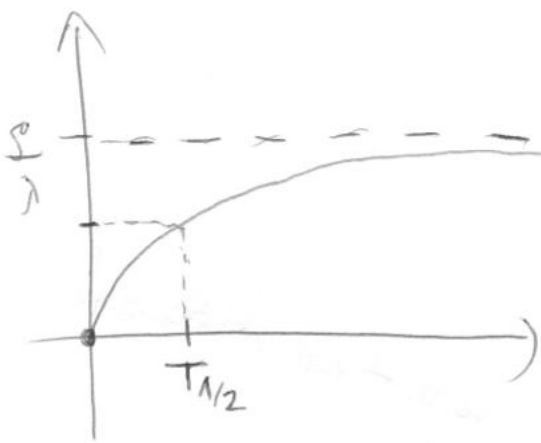
$$\underline{N_I(t)} = e^{-\lambda t} \int \rho e^{+\lambda t} dt + K e^{-\lambda t} = e^{-\lambda t} \left(\rho \frac{e^{+\lambda t}}{\lambda} + K e^{-\lambda t} \right)$$

$$= \frac{\rho}{\lambda} + K e^{-\lambda t}$$

$$N_I(0) = 0 = \frac{\rho}{\lambda} + K \cdot 1$$

$$K = -\frac{\rho}{\lambda}$$

$$N_I(t) = \frac{\rho}{\lambda} (1 - e^{-\lambda t})$$



(exponencialisan feltárolódó kv.)

$$t = \frac{\ln 2}{\lambda} = T_{1/2}$$

$$N_I(T_{1/2}) = \frac{\rho}{\lambda} \left(1 - e^{-\frac{\ln 2}{T_{1/2}} \cdot T_{1/2}} \right) =$$

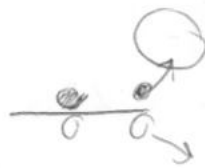
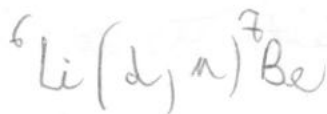
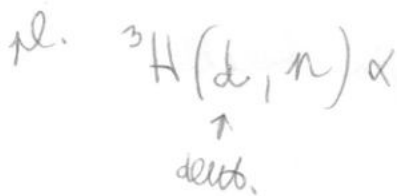
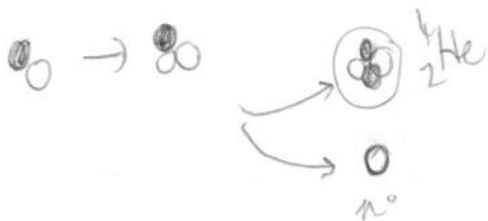
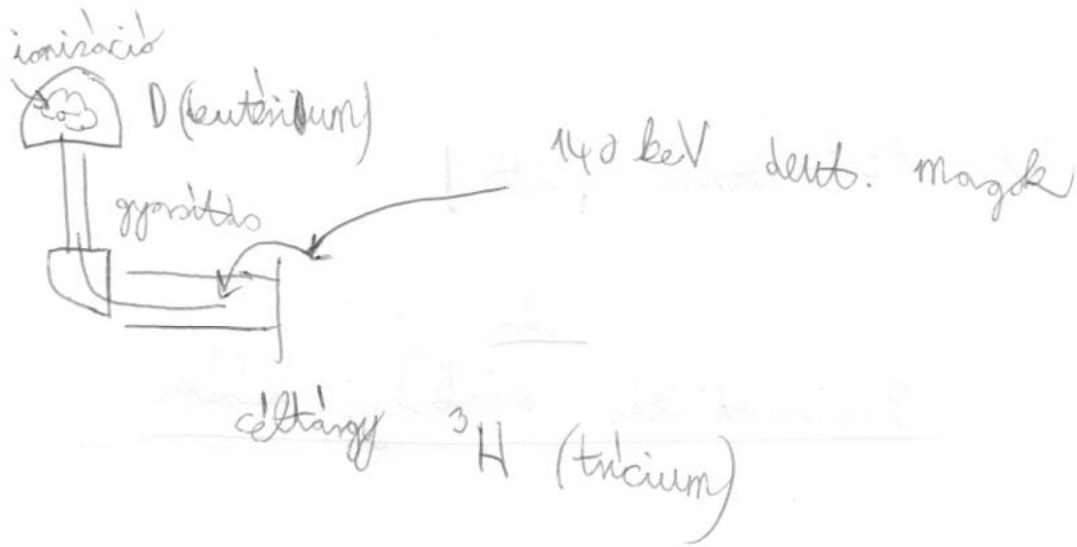
$$= \frac{\rho}{\lambda} \left(1 - \frac{1}{2} \right) = \frac{1}{2} \frac{\rho}{\lambda}$$

a felvétel idő alatt éri el az aktivitás feleét

↳ ez azért jó, mert tudjuk, mekkor éri meg kentrágnia

Neutrongenerator

140 000 V \rightarrow gyorsító



Ha a képszo is hasonló, maga a reakció is hasonló lefolyású

pk.



mit. ${}_{13}^{00}$ pödra, itt!

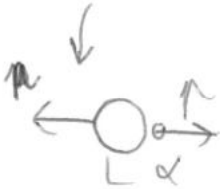
10.02

Radioaktivitás minőségi leírása

1) α -bomlás

$T_{1/2}$, E_α (energia)

- ismétlődés α -bomlásban:



a p^+ -ok tartódnak csökken (2p+ elem) \rightarrow

\rightarrow az összehúzóerő a mag (bonyelem), energia keletkezik.

(magrész munkát végez).

(Körben a magrész is csökken, de az elektr. tartózkodás jobban)

1 nukleonra jutó energia is csökken

magtömeg miatt
is a kevesebb. közelebb

$$Q = (m_A - m_L - m_\alpha) c^2 : \text{ kötésenergia megváltozása } = \frac{p^2}{2m_L} + \frac{p^2}{2m_\alpha}$$

- pp

$$\frac{A^2}{2m_\alpha} \left(1 + \frac{m_\alpha}{m_L}\right) = E_\alpha \left(1 + \frac{m_\alpha}{m_L}\right)$$

$$E_\alpha = \frac{Q}{1 + \frac{m_\alpha}{m_L}} = Q \frac{m_L}{m_L + m_\alpha} \approx Q \frac{A_L}{A_L + A_\alpha} = Q \frac{A_L}{A_A} = Q \cdot \frac{A-4}{A}$$

↑
nyolclem tömegszama

$$E_L = Q \frac{4}{A}$$



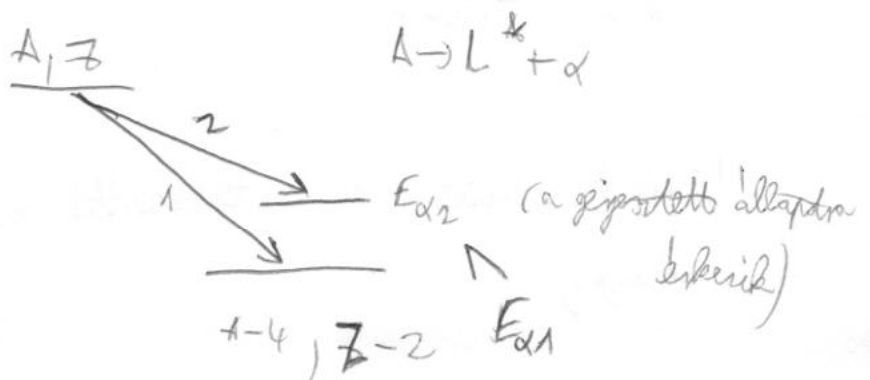
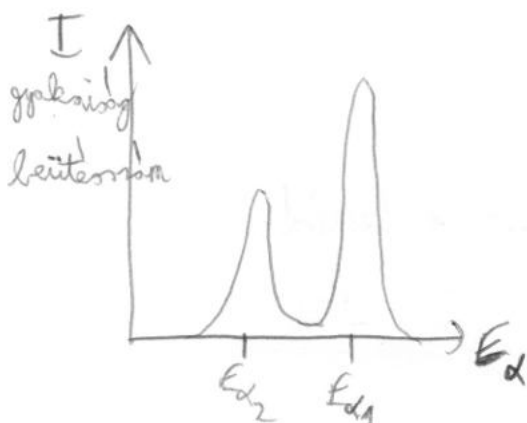
$$E_{{}^{218}\text{Po}} = Q \frac{4}{222} = \frac{Q}{55,5}$$

$$E_\alpha = Q \frac{218}{222} = 5,5 \text{ MeV}$$

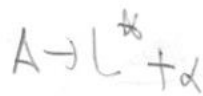
$$Q = \frac{222}{218} \cdot 5,5 \text{ MeV}$$

$$E_{{}^{218}\text{Po}} \approx \frac{222}{218} \cdot 5,5 \text{ MeV} \cdot \frac{1}{55,5} = 0,1 \text{ MeV} = 100 \text{ keV}$$

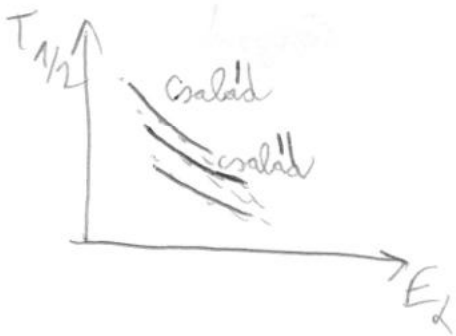
α -bombák sűrűsége.



$$Q_1 - E^* = Q_2$$

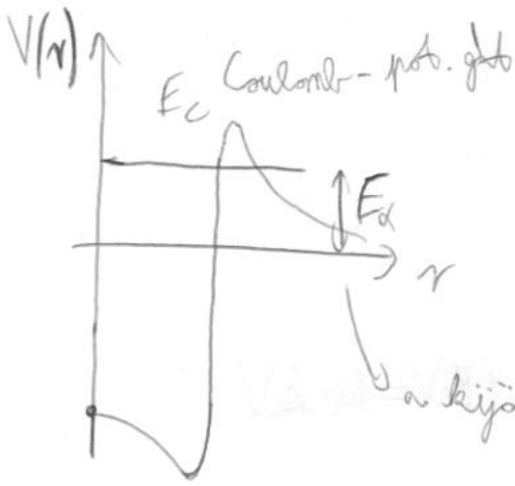


A nagyobb energiájú α részecskénél mindig nagyobb volt a gyakoriság. (amikor "alapállapotba" érkezik)

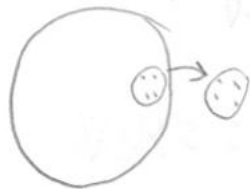


Geiger-Nuttall-tör.

α -bombázás mechanizmusa?



így tekintjük, mintha már lent is a lenne



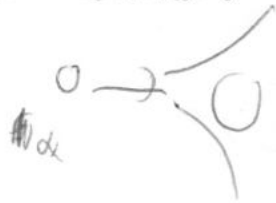
α kijövés α részecske energiája kisebb, mint a potenciál gát

magnitok

k.h.-i tudása

$\sim 5-10$ MeV körüli van a természetben előforduló α bombázás energiája

inven α -barlás



kis energiával a jót miatt visszafelé
sem megy bele!

de gondolni ki lehet mérni, hogy mekkora a pot. jót

Sch. egy. $\left[-\frac{\hbar^2}{2m} \Delta + V(r) \right] \psi = E \psi$

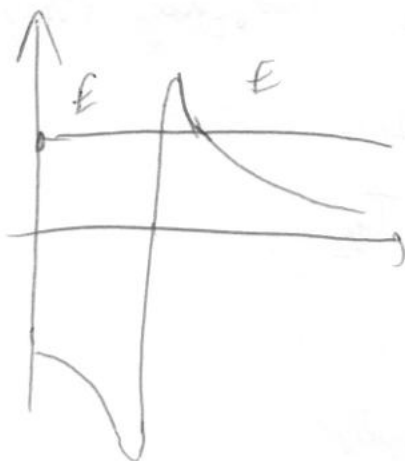
1D-ban

$-(\dots) \psi'' = (E_\alpha - V) \psi$

↓
megoldás: ψ függ, $E_\alpha \geq V$?

ha $E_\alpha < V \rightarrow e^{\pm \beta x}$

$E_\alpha > V \rightarrow e^{\pm i \beta x}$



lagítás effektus

$$\Gamma = \frac{A^2}{A^2} \frac{II}{I}$$

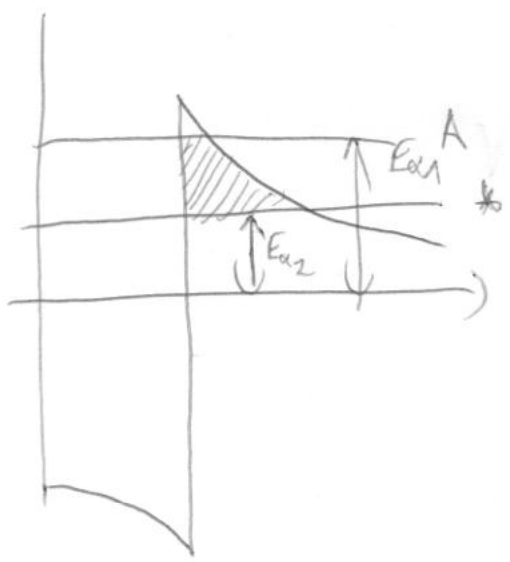
átalakítás valószínűsége

↓
 $\begin{pmatrix} jki \\ jbe \end{pmatrix}$

gamma-faktor (α -bomlásra alkalmazható elvileg)

↳ radioaktív frekvenciája (hányzor "ütkezik" nekik)

$W = \Gamma \cdot f$
 ↑
 valószínűség, hogy átnegy



$$E_{a1} > E_{a2}$$

$$T_1 < T_2$$

$$e^{-T_1} > e^{-T_2}$$

$$W_1 > W_2 \text{ (való, hogy átnegy)}$$

$$\lambda_1 > \lambda_2$$

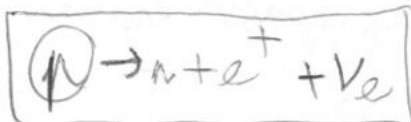
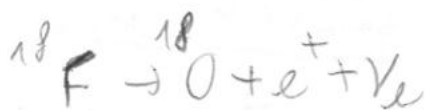
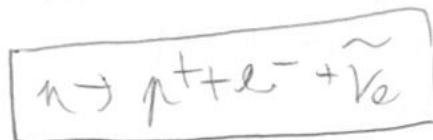
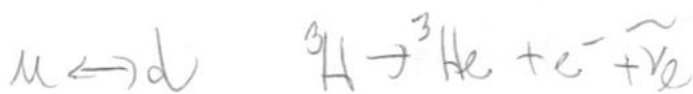
$$T_{1/2,1} < T_{1/2,2}$$

Mivel nagyobb az energia,
 annál kisebb a felbomlási
 idő

(a gyorsított állapotra menő α rész nagyobb
 részt alakít át, ezért kisebb ~~idő~~-el jut át,
 nagyobb a felbomlási idő)

2) β -bomlás

kerfok ise megrátörök, magfizikában ez:



$$m_n > m_p, \text{ DE}$$

ez atommagon belül van, ezért van kötsi energiája is ✓

(szabad p^+ nem alakul át)



= ezen két egyenlet, és algebrai átrendezéssel mehetnek csak végre

$$n + e^+ \rightarrow p + \tilde{\nu}_e$$

$$p + e^- \rightarrow n + \nu_e \rightarrow E.C. \text{ (elektronbefogás)}$$

$$\nu_e + n \rightarrow p + e^-$$

$$\tilde{\nu}_e + p \rightarrow n + e^+$$

3) γ -bomlás

γ foton: atommagból származik

γ bomlás: γ foton keletkezés

(párhuzamos állapotból alacsonyabb energiájú állapotba kerül)

6000 -

$\sim 10^5$ bomlás/



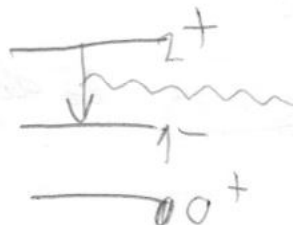
γ foton:

- frekvencia

pontos, periodikus

- polarizáció

periodikus állapotok!



↓

↓
 Maxwell-egyenlet → vektor-gömbök.

↓
 perdület →

paritás → (tegyedés irányára szimm. vagy nem)

↓
 TM, TE

perdület KVM-ban:

↓

keletk. valószínűség:

$\begin{matrix} \text{kéreg} & \begin{matrix} E \\ M \end{matrix} \\ & \begin{matrix} \nearrow \\ \searrow \end{matrix} \\ & \begin{matrix} L \\ K \end{matrix} \end{matrix}$

 (perdületke. szám)

multiplaritás

fotonok:

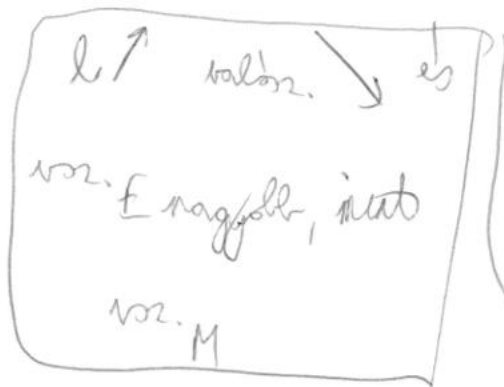
$E_1, M_1, E_2, M_2, E_3, M_3$

$\begin{matrix} \downarrow & \downarrow \\ \text{mágn. dipól} & \text{el. kvadrupól} \\ & \dots \end{matrix}$

mellekkvantumszám



ilyen
 kéreg nem
 keletk.



\downarrow
 nem azonos
 a val.

perdület megmaradás:

$$\vec{I}_1 \rightarrow \vec{I}_2 + \vec{L}_2$$

$\downarrow \qquad \downarrow \qquad \downarrow$
 kv. szám: $i_1 \qquad i_2 \qquad l$

kvantummechan. perdület

$$|i_1 - i_2| \leq l \leq |i_1 + i_2|$$

$$|2-1| \leq l \leq |2+1| \rightarrow l=1, 2, 3$$

paritás megmaradás:

$$\pi_1 \cdot \pi_2 \cdot (-1)^l$$

$$\frac{\pi_1}{\pi_2} = (-1)^l \rightarrow \text{paritás megmaradás! állapot}$$

$$\begin{aligned} & \parallel \\ (-1) &= (-1)^l \\ & \underbrace{\hspace{2cm}} \\ & E \\ & \text{(elektronos} \\ & \text{foton)} \end{aligned}$$

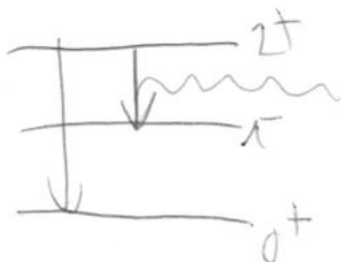
$$\begin{aligned} (-1)^1 & \checkmark \\ (-1)^2 & - \\ (-1)^3 & \checkmark \end{aligned}$$

E1, E3 NG

$$\frac{\pi_1}{\pi_2} = (-1)^{l+1} \rightarrow M2 \text{ NG}$$

E1 legalbiztosabb foton

M2 }
E3 }



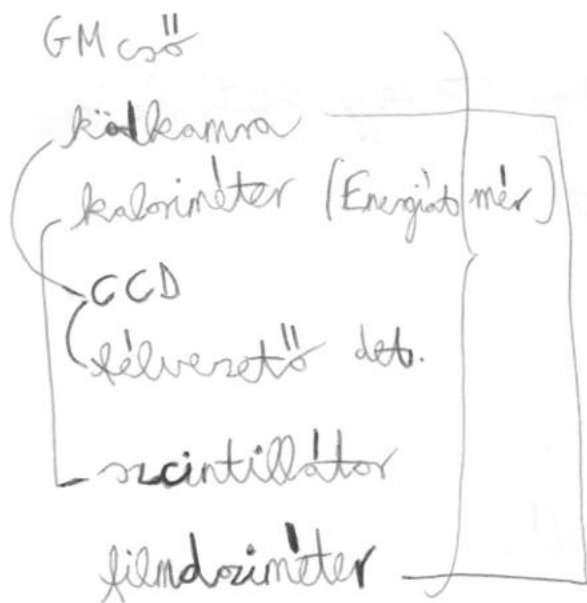


$\begin{array}{c} \hline \hline \end{array} \begin{array}{c} 7^- \\ \sigma^+ \end{array} \} \text{ a periodizált. nagy } \rightarrow \text{ nagy multiplicitású} \\ \text{foton keltének} \\ \downarrow \\ \text{kis valószínűs.} \\ \text{inverter-} \\ \text{-állapot} \\ \downarrow \\ \text{hosszú felbontási idejű } \sigma^- \text{-bomlás}$

101. óra

jún. 1.: 2. írásbeli
 jún. 4. (hetfő): szóbeli \rightarrow beugró kérdés $\sqrt{7H}$ -lél \rightarrow jegy elfogadása
 \downarrow javítás / pontás

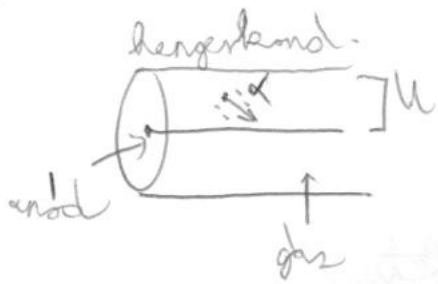
Detektorok



1) Osopatók:

- vizuális detektorok → kődkamra → Wilson-féle
→ filmdosiméter → diffúzió
- nyomdetektor
- buborékakna
- gáztöltésű ~ → ionizációs
→ proporcionális
→ GM - cső
- félvezető → Si (Li nemleges)
→ Ge (-11-)
→ HP Ge
→ Si (felületi zártfogás)
- scintillációs → NaI
→ folyadékszcintillációs } FES (fotokollimációs
- 98 - } (fotokollimációs
1020)

2) Gásterületi detektorok



radioaktív rész. (ionizáló sug.)

ionizáció

e^- , ionok

→ mennek az anód felé: drift

(külső erő által létrejövő "terelés")
(nem diffúzióval megy az e^-)



• rekombináció: az e^- odagrad pl. egy oxigén molekulához
negatív ütközés ← $E_{kin} > E_{off}$ (ionhoz)

• L alatt $E \cdot L \cdot e = E_{kin}$ energiára tesz ~~sz~~ szét

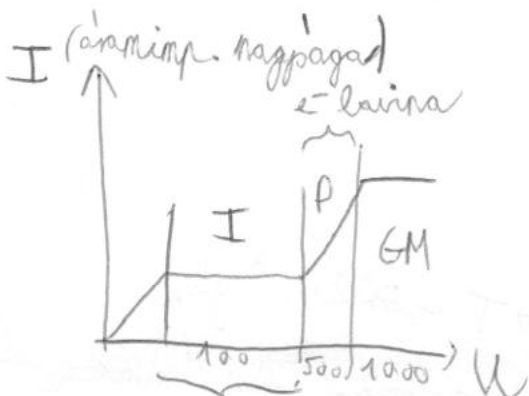
ha $E_{kin} > E_{ion}$

↓
az 0 -rd le tud ~~lenni~~ ^{másod} lenni egy e^- -t : másodlagos

ionizáció

↓
a kör. ütközésig megint le tud gyomulni mindkettő

↳ e^- lavina



ebben a térfogatban tud az e^- lavina kialakulni

(a térköziség nem homogén,
befejező n_0 van egy helyen, ahol
már nem tud tovább lavina
kialakulni)

ugyanannyi e^- keletkezik, mint amennyi keletkezett

• I: ionizációs

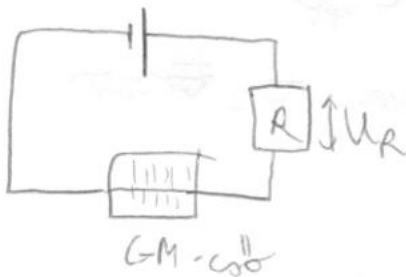
• P: proporzionális

• GM: G-M.-cső

• GM: másodlagos eff.: katód fotoeffektus

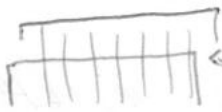
karaktisztikus RTG sug. (amikor az e^- az szigetből kilök egy e^- -t) \rightarrow a RTG foton a katódtól kilök e^- -t

GM cső leállítása:



ha áram indul el $\rightarrow U_R \neq 0 \rightarrow$
 \rightarrow csökken a GM-cső feszültsége

• proporc. kamra: tud áramot mérni nagy jel



→ csak anélkül \rightarrow nem csak energiát, hanem helyet is tud mérni (Chambers - Nobel-díj)

• ionizációs: kisebb jel, de ez is tud energiát-mérni

3) vizuális detektorok

~~2) vizuális detektorok~~

a) ködkamra \rightarrow szpanszió

\rightarrow vákuum-féle

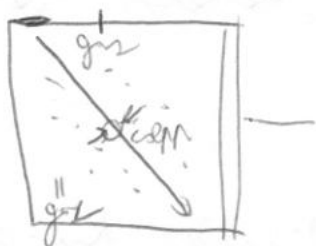


kilúsznak ~ dugattyút \rightarrow \uparrow csökken a gőz lecsapódási hőmérséklete alá

de a csépp nem tud kialakulni (metastabil helyzet)

de ha jön az ion.

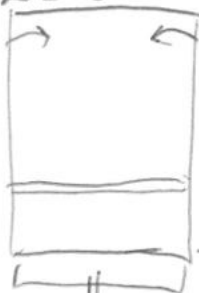
csépp alakul ki



(mérés: nyomásérzékelés → magn. térben poliszugár)

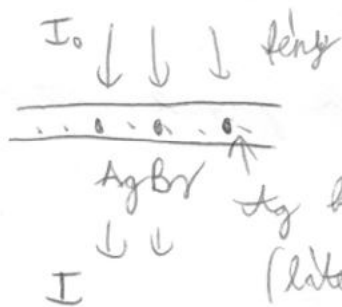
→ diffúziós kódkamera:

$T \approx 20^\circ\text{C}$



↓ diffúzióval, de egyre lassabban
érkező hőmérséklet $\leq T_{\text{csépp}}$.

b) filmcsimátor

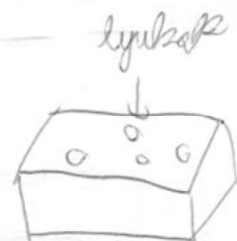
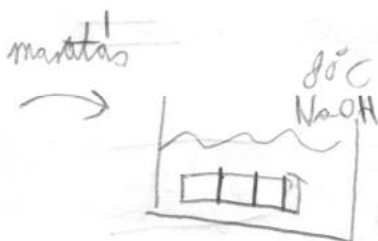
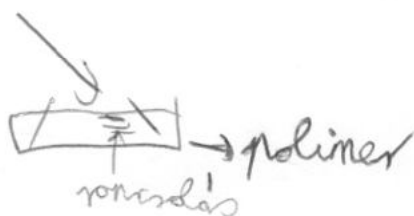


$$S \text{ (fotóadás)} = h \nu \frac{I}{I_0}$$

Ag kivalás (látnak → rbg nem látnak)

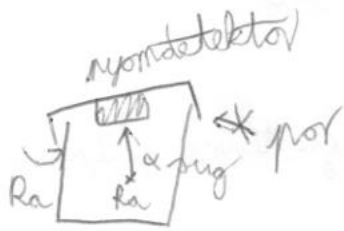
használnak ionizációs sugárzásra is kivalás (pl. α és RTG) → elhívás után lehet látni

c) solid state track detector (nyomódetektor)



nyomáshatás $\sim I_\alpha$

DE 9600 dpi-s skennelés már ki lehet deríteni



pl. barlangok levegőjének Ra-meghatározása

d) buborékchamber



titkított folyadék
(pl. H_2)

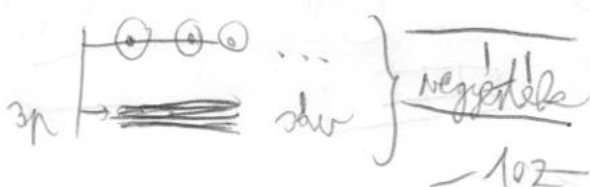
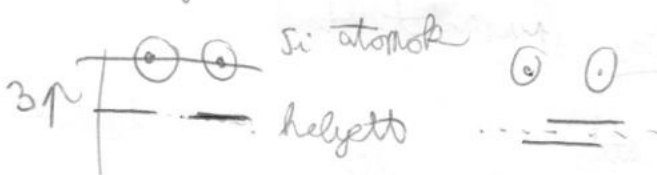
= viz. detektorok összefoglaló tulajdonsága

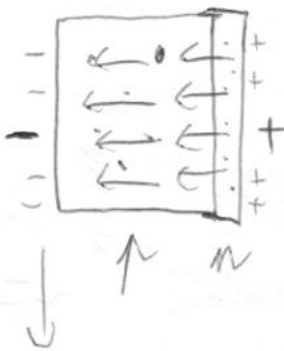
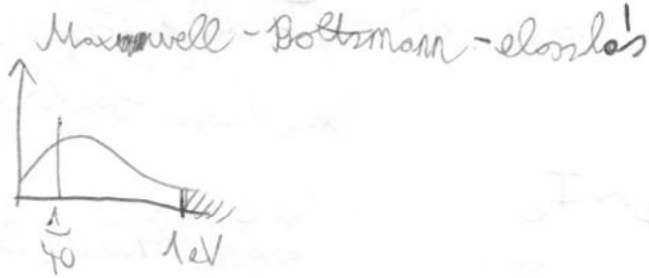
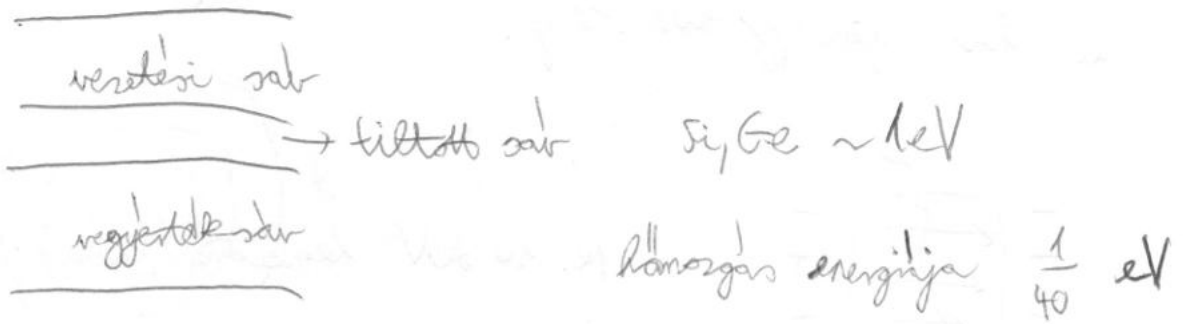
makroszkopikus metasztabil állapotok jönnek létre,
melyeket láthatóvá tesszük

4) Felverés

- egykristály

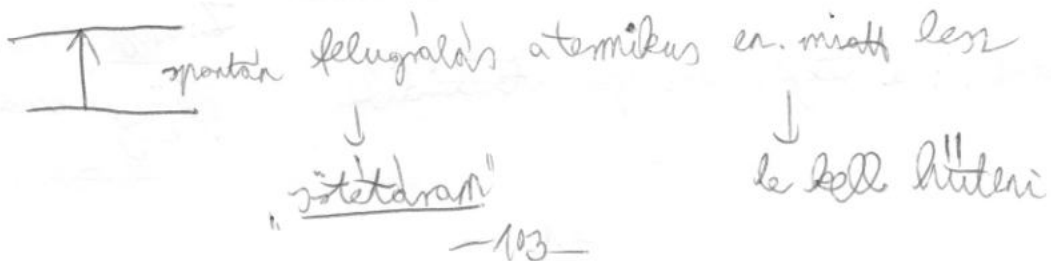
• $\frac{1}{2}$ -es E-járás visszakeresés





dióda
 semlegesítjük a csatlakozást (szennyezéssel)

felvezetés detektor: plusz feszültség → egy idő után az egész felvezetésen kiüresített zóna lesz



de ha jön egy ion. sug.



p. 10 keV leadott energia

↓
max. 10^4 e^- felgyűjtése a vesztési sávba

↓
anom indul meg

$$E_d \sim N_e \sim I_e$$

(e^- szám) (áram)
↓
energia

↓
rögzítés energiájának

HP Ge

b) ~~Ge~~: nincs benne szennyezőanyag (high purity)

5) γ -sug. betek taláza felvett detektoral:

↳ magban kelettesik

a) γ foton és anyag k.h.-a:

(e^- -al ütközik 99% < -al)



- fotoeffektus →

- Compton-szórás →

- párokeltés →

foton

megemmisül

távoli

megemmisül

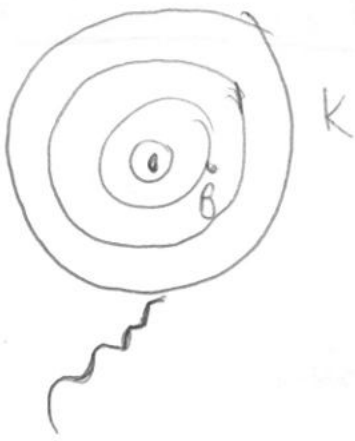
↑
alász.

$$\sim Z^5 \rightarrow E_{\gamma} = E_d$$

$$\sim Z \rightarrow E_{\gamma} > E_d$$

fotoeff.: a teljes energia átadódik

Z: anyag rendszáma
(közeg rendszáma)



fotóff.: szabad e^-
 I. $h\nu$
 II. m_0c^2

$$h\nu + m_0c^2 = \sqrt{p^2c^2 + m_0^2c^4}$$

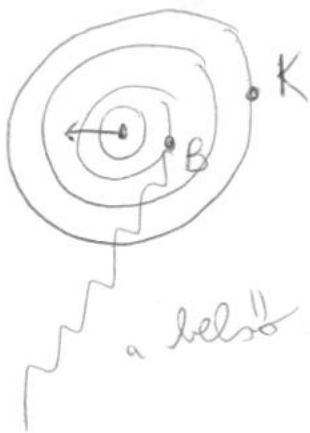
$$(h\nu + m_0c^2)^2 = p^2c^2 + m_0^2c^4 = \frac{(h\nu)^2}{c^2} c^2 + m_0^2c^4$$

$$\frac{h\nu}{c} = p$$

$$(h\nu + m_0c^2)^2 = (h\nu)^2 + m_0^2c^4$$

$$2h\nu m_0c^2 = 0$$

↓
 szabad e^- -n nincs fotóff.



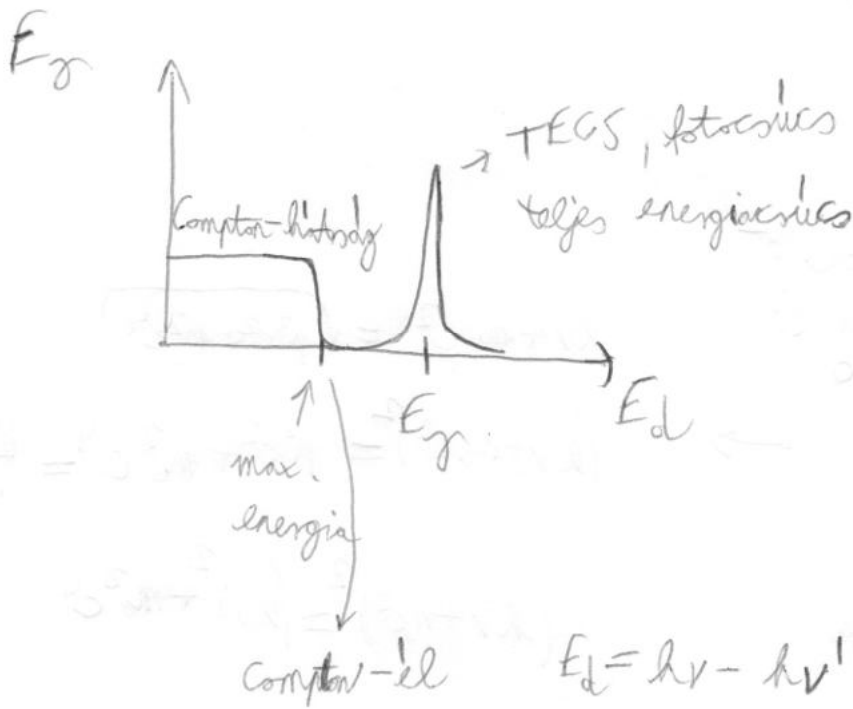
a mag elveszi az energia egy részét

a belső elektronokat üti ki

$$h\nu_{\text{foto}} \sim E^2$$

elektr. téj

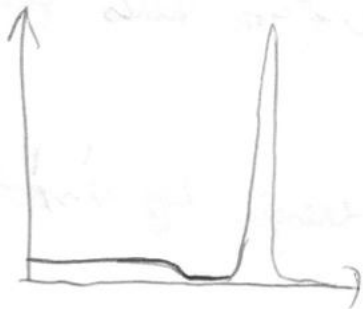
b) maxenergiás γ -sugárzás detektálás leadott energia
járak eloszlása:



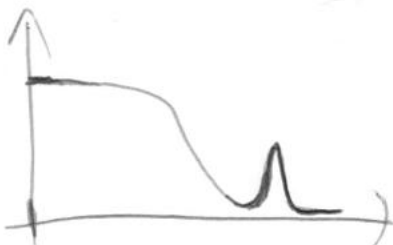
$$E_d = h\nu - h\nu' = h\nu - h\nu \frac{1}{1 + \frac{h\nu}{m_0 c^2} (1 - \cos\theta)}$$

180° -os szög

$$= h\nu - \frac{h\nu}{1 + \frac{2h\nu}{m_0 c^2}} = E_{\text{Compton}}^{\text{max}} = E_{\text{Compton}}^{\text{el}}$$



$Z = \text{nagy}$



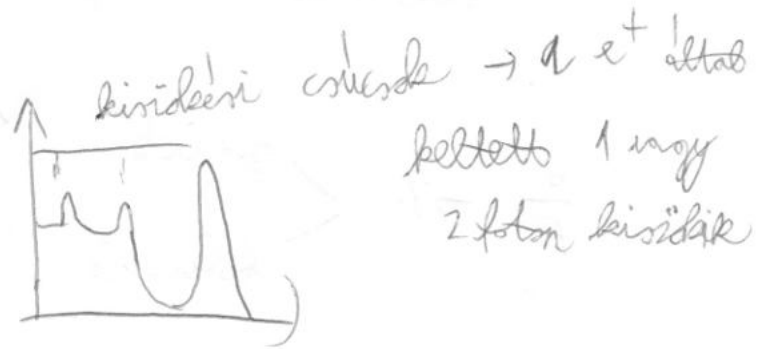
$Z = \text{kicsi}$

példák:

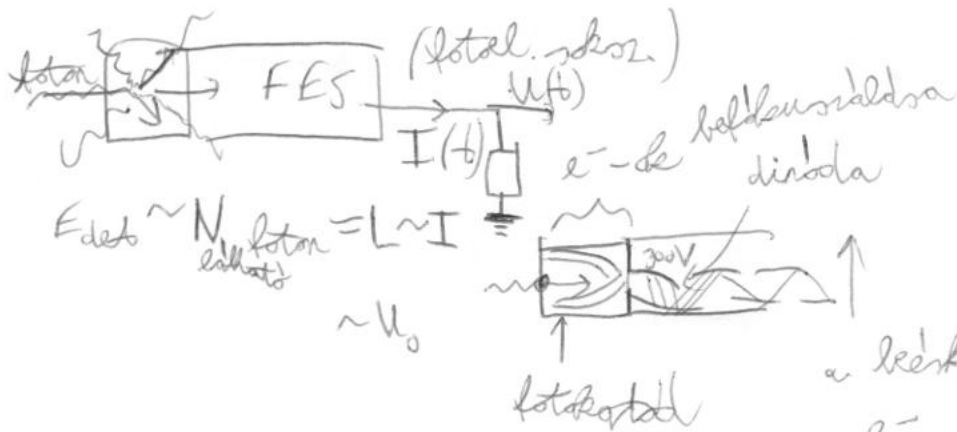
$2 \text{ MeV} = E_\gamma > 1 \text{ MeV}$



$E_e + E_{e^+} = 1 \text{ MeV}$, ha 2 MeV -es volt a foton



6) Scint. det.



$E_{det} \sim N_{\text{foton}} \cdot L \sim I \sim U_0$

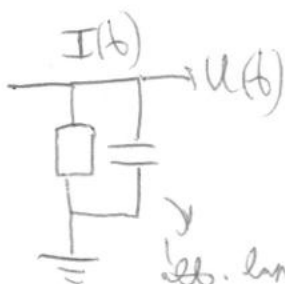
• beérkező 300 eV-os
e- 3 db 100 eV-os
e- keletkeznek
↓
gyorsítás

$1e^- \rightarrow 3^{10} \text{ db } e^-$

nagy kijövő áram



$U_0 \sim E_{det} \sim L$

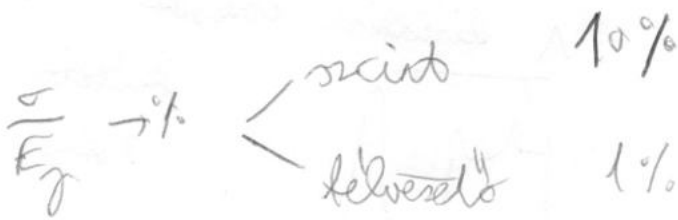


leb. len az ellenállásoknak van mekkora kapacitásuk
↳ nem azonnal vált.

felbontás:

$\sigma \rightarrow$ FWHM

(full width at height max.)



~~di~~
 rosszabb felbontás
 jobb felbontás
 (pontosság messze)

nagy hatáskör
 ↑
 $I \rightarrow I_f$
 ↓
 $G_e \rightarrow I_f$
 ↓
 kisebb hatáskör

